



30 V, 低噪声, 轨至轨输入/输出, 低功耗运算放大器

数据表

ADA4084-1 / ADA4084-2 / ADA4084-4

特征

轨到轨输入/输出

低功耗: ± 15 V时, 每个放大器典型值为0.625 mA

增益带宽乘积: A V=100典型值为15.9 MHz

单位增益分频器: 典型值为9.9 MHz

-3 dB闭环带宽: 在 ± 15 V时典型值为13.9 MHz

低失调电压: 最大100 μ V (SOIC)

单位增益稳定

高压摆率: 典型值为4.6 V/ μ s

低噪声: 1 kHz时典型值为3.9 nV/ $\sqrt{\text{Hz}}$

应用

电池供电的仪器

高侧和低侧感应

电源控制和保护

电信

数模转换器 (DAC) 输出放大器

模数转换器 (ADC) 输入缓冲器

一般描述

ADA4084-1 (单通道), ADA4084-2 (双通道) 和ADA4084-4

(四) 是单电源, 10 MHz带宽放大器的特点

轨到轨输入和输出. 他们保证运作

从+3 V到+30 V (或 ± 1.5 V到 ± 15 V).

这些放大器非常适合单电源应用

需要交流和精密直流性能组合

具有宽带宽, 低噪声, 高精度的特点

ADA4084-1, ADA4084-2和ADA4084-4广泛使用

各种应用, 包括过滤器和仪器.

这些放大器的其他应用包括便携式电信 -

通信设备, 电源控制和保护, 以及

用作放大器或缓冲器, 用于宽输出的传感器

范围. 需要轨到轨输入放大器的传感器包括

霍尔效应, 压电和电阻传感器.

在输入和输出上摆动轨对轨的能力

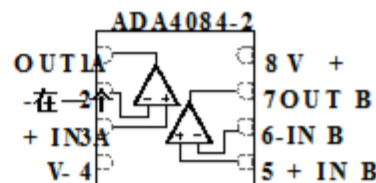
使设计人员能够在单电源中构建多级滤波器

系统并保持较高的信噪比.

ADA4084-1, ADA4084-2和ADA4084-4均已指定

工作温度范围为-40°C至+125°C.

引脚连接图



笔记
1. 对于LFCSP封装，
暴露的垫必须是
连接到V-.

图1. ADA4084-2,8引脚LFCSP (CP)

请参阅引脚配置和功能描述部分

有关引脚的其他引脚配置和信息
功能.

单个ADA4084-1采用5引脚SOT-23封装

8引脚SOIC; 双通道ADA4084-2采用8引脚

SOIC, 8引脚MSOP和8引脚LFCSP表面贴装
包; ADA4084-4采用14引脚TSSOP封装
和16引脚LFCSP.

ADA4084-1, ADA4084-2和ADA4084-4是其中的成员
越来越多的高压, 低噪声运算放大器

ADI公司 (见表1).

表1. 低噪声运算放大器

单	双	四	电压噪声
AD8597	AD8599		1.1 nV / Hz
ADA4004-1	ADA4004-2	ADA4004-4	3 nV / Hz
AD8675	AD8676		2.8 nV / Hz 轨到轨输出
AD8671	AD8672	AD8674	2.8 nV / Hz
OP27, OP37			3.2 nV / Hz
ADA4084-1	ADA4084-2	ADA4084-4	3.9 nV / Hz 轨到轨 输入输出

Rev. H

文档反馈

ADI公司提供的信息被认为是准确和可靠的.但是, 没有
使用模拟装置所承担的责任, 以及其他专利权的损害.

rights of third parties that may result from its use. Specifications subject to change without notice.
One Technology Way, PO Box 9106, Norwood, MA 02062-9106, U.S.A.
电话: 781.329.4700 | 2015 Analog Devices, Inc.保留所有权利.

ADI公司的任何专利或专利权均以暗示或其他方式授予许可.

Trademarks and registered trademarks are the property of their respective owners.

技术支持.

www.analog.com

目录

特征	1	$\pm 5\text{ V}$ 特性	17
应用	1	$\pm 15\text{ V}$ 特性	23
引脚连接图	1	申请信息	29
一般说明	1	功能说明	29
修订记录	3	启动特性	30
规格	4	输入保护	30
电气特性	4	输出相位反转	30
绝对最大额定值	7	在单电源应用中设计低噪声电路	
热阻	7	比较器操作	31
ESD警告	7	外形尺寸	32
引脚配置和功能描述	8	订购指南	35
典型性能特点	11		
$\pm 1.5\text{ V}$ 特性	11		



修订记录**15分之8-REV. G到Rev. H**

新增5引脚SOT-23	普遍
引脚连接图部分的更改, 图1和	
一般说明部分	1
删除了图3;依次重新编号	1
大信号电压增益参数的变化, 表2	4
大信号电压增益参数的变化, 表3	5
大信号电压增益参数的变化, 表4	
表6的变更	7
移动图3	8
添加引脚配置和功能描述部分,	
图4, 图5, 表7, 表8和表9;重编	
依次	8
添加了图6, 图7, 图8, 表10和表11	9
移动图9	10
新增表12	10
添加了图11和图15	11
添加了图42和图46	17
添加了图73和图77	23
更新了外形尺寸	32
订购指南的更改	35

15分之6-REV. F到Rev. G

图96和图97的变化	24
------------------	----

15分之1-REV. E至Rev. F

移动修订历史	3
表5的变更	7
订购指南的更改	29

14分之7-REV. D至Rev.E

增加了ADA4084-1	普遍
增加了图1;按顺序重新编号	1
输出电压高参数变化, 表2	3
当前噪声密度参数的变化, 表3	4
当前噪声密度参数的变化, 表4	5
图8标题和图9到图11的变化	7
图13的变化	8
图21的变化	9
增加了图31;依次重新编号	11
图30标题和图32到图34的变化	
图36的变化图39的标题标题	12
图50的变化	14
添加了图60	16
图59标题, 图62和图63的变化	16
图65的变化图68的标题标题	17
图79的变更	19
添加了图89	21
图88标题, 图91标题和	
图92标题	21
订购指南的更改	28

11/13-REV. C到Rev. D

增加了14引脚TSSOP和16引脚LFCSP封装	通用
增加了ADA4084-4	普遍
更改为功能部分和应用部分	1
增加了图2和图3;依次重新编号	1
表2的变更	3
表3的变更	4
表4的变更	5
表5和表6的变化	6
典型性能特征的变化	7
更新了外形尺寸	27
订购指南的更改	28

13分之4-REV. B至Rev.C

图48标题的变化	15
更新了外形尺寸	25

6/12-REV. A到Rev. B

增加了LFCSP封装	普遍
图1的变化	1
输出电压高参数的变化, 表4	5
增加了图5和图7, 依次重新编号	7
添加了图30和图32	12
添加了图55和图57	17
增加了启动特性部分	23
移动图78	23
输出相位反转部分和比较器的更改	
操作科	24
更新了外形尺寸	25
订购指南的更改	26

2/12-REV. 0至Rev. A

数据表标题变更	1
一般描述中电压范围的变化	1
电源电流/放大器参数的变化, 表2	3
共模抑制比参数的变化, 表3..4	
共模抑制比参数的变化, 表4..5	
图2的变化	6
图24的变化	10
图32的变化	12
图47的变化	14
图55的变化	16
图62的变化	17
图73的变化	20

10/11 - 版本0: 初始版本

规格

电气特性

V SY = 3V, V CM = 1.5V, T A = 25°C, 除非另有说明.

表2

参数	符号	测试条件/评论	敏	典型	马克斯	单元
输入特性						
偏移电压	V OS	SOIC包 -40°C ≤ T A ≤ +125°C SOT-23, MSOP, TSSOP封装 -40°C ≤ T A ≤ +125°C ADA4084-2 LFCSP封装 -40°C ≤ T A ≤ +125°C -40°C ≤ T A ≤ +125°C T A = 25°C ADA4084-4 LFCSP封装	20 50 80 0.5	100 130 200 250 300 1.75	200 250 300 μV μV μV μV μV μV/°C	μV
偏移电压漂移	ΔT/ΔT					
偏移电压匹配						
输入偏置电流	I B	-40°C ≤ T A ≤ +125°C	140	250	400	nA的
输入偏移电流	I 操作系统	-40°C ≤ T A ≤ +125°C	五	25	50	nA的
输入电压范围			0		3	nA的
共模抑制比	CMRR	V CM = 0V至3V -40°C ≤ T A ≤ +125°C	64 60	88	D b	D b
大信号电压增益	一个 VO	R L = 2kΩ, 0.5 V ≤ V OUT ≤ 2.5 V -40°C ≤ T A ≤ +125°C	100 97	104	D b D b	D b
输入阻抗				100 1.1		千欧 pF的
微分				80 2.9		MΩ pF的
共同模式						
输出特性						
输出电压高	V OH	R L = 10kΩ到V CM -40°C ≤ T A ≤ +125°C R L = 2kΩ到V CM -40°C ≤ T A ≤ +125°C	2.90 2.80 2.85 2.70	2.95	V V	V
输出电压低	V OL	R L = 10kΩ到V CM -40°C ≤ T A ≤ +125°C R L = 2kΩ到V CM -40°C ≤ T A ≤ +125°C	10 20	20	40	毫伏 毫伏
短路电流	I SC			三十一		
闭环输出阻抗	Z OUT	f = 1kHz, A V = 1	-17 / + 10	50		
电源				0.1		
电源抑制比	PSRR	V SY = ±1.25 V至±1.75 V -40°C ≤ T A ≤ +125°C	100 90	110	D b	D b
每个放大器的电源电流	I SY	I OUT = 0 mA -40°C ≤ T A ≤ +125°C		0.565	0.650	毫 安
				0.950		
动态表现						
转换率	SR	R L = 2kΩ	2.0	2.6		V / μs的
获得带宽产品	英磅	V IN = 5mV pp, R L = 10kΩ, A V = 100		15.4		兆赫
Unity-Gain交叉	UG C	V IN = 5mV pp, R L = 10kΩ, A V = 1		8.08		兆赫
相位裕度	ΦM			86		学位
-3 dB闭环带宽	-3分贝	V = 1, V IN = 5mV pp		12.3		兆赫
解决时间	t S	A V = 10, V IN = 2 V pp, 0.1%		4		微秒
总谐波失真和噪声	THD + N	V IN = 300mV rms, R L = 2kΩ, f = 1kHz		0.009		%
噪音表现						
电压噪声	e n pp	0.1Hz至10Hz		0.14		μVpp
电压噪声密度	e	f = 1kHz		3.9		纳伏/√Hz的
当前噪声密度	我	f = 1kHz		0.55		PA / √Hz的

$V_{SY} = \pm 5.0 \text{ V}$, $V_{CM} = 0 \text{ V}$, $T_A = 25^\circ\text{C}$, 除非另有说明。

表3.

参数	符号	测试条件/评论	敏	典型	马克斯	单元
输入特性	V _{OS}	SOIC包 $-40^\circ\text{C} \leq T_A \leq +125^\circ\text{C}$	三十	100	μV	
		SOT-23, MSOP, TSSOP封装 $-40^\circ\text{C} \leq T_A \leq +125^\circ\text{C}$	60	130	μV	
		ADA4084-2 LFCSP封装 $-40^\circ\text{C} \leq T_A \leq +125^\circ\text{C}$	90	200	μV	
		$-40^\circ\text{C} \leq T_A \leq +125^\circ\text{C}$		300	μV	
		$\Delta V_{OS}/\Delta T$ $T_A = 25^\circ\text{C}$	0.5	1.75	$\mu\text{V}/^\circ\text{C}$	
	我 B	ADA4084-4 LFCSP封装		150	μV	
		$-40^\circ\text{C} \leq T_A \leq +125^\circ\text{C}$	140	250	nA 的	
	我 操作系统	$-40^\circ\text{C} \leq T_A \leq +125^\circ\text{C}$	五	400	nA 的	
		$-40^\circ\text{C} \leq T_A \leq +125^\circ\text{C}$	25	50	nA 的	
	CMRR	$V_{CM} = \pm 4 \text{ V}$, $-40^\circ\text{C} \leq T_A \leq +125^\circ\text{C}$	-5	+5	V	
		$V_{CM} = \pm 5 \text{ V}$	106	124	D _b	
		$V_{CM} = \pm 5 \text{ V}$, $-40^\circ\text{C} \leq T_A \leq +125^\circ\text{C}$	76		D _b	
		R _L = 2k Ω , -4 V $\leq V_{OUT} \leq$ 4 V	70		D _b	
		$-40^\circ\text{C} \leq T_A \leq +125^\circ\text{C}$	108	112	D _b	
输出特性	V _{OH}	$R_L = 10\text{k}\Omega$ 到 V_{CM} $-40^\circ\text{C} \leq T_A \leq +125^\circ\text{C}$	4.9	4.95	V	
		$R_L = 2\text{k}\Omega$ 到 V_{CM} $-40^\circ\text{C} \leq T_A \leq +125^\circ\text{C}$	4.8		V	
		$R_L = 10\text{k}\Omega$ 到 V_{CM} $-40^\circ\text{C} \leq T_A \leq +125^\circ\text{C}$	4.8	4.85	V	
		$R_L = 2\text{k}\Omega$ 到 V_{CM} $-40^\circ\text{C} \leq T_A \leq +125^\circ\text{C}$	4.7		V	
	V _{OL}	$R_L = 10\text{k}\Omega$ 到 V_{CM} $-40^\circ\text{C} \leq T_A \leq +125^\circ\text{C}$	-4.95	-4.9	V	
		$R_L = 2\text{k}\Omega$ 到 V_{CM} $-40^\circ\text{C} \leq T_A \leq +125^\circ\text{C}$	-4.95	-4.8	V	
		$R_L = 10\text{k}\Omega$ 到 V_{CM} $-40^\circ\text{C} \leq T_A \leq +125^\circ\text{C}$	-4.95	-4.8	V	
		$f = 1\text{kHz}$, $A_V = 1$	-4.7		V	
		$f = 1\text{kHz}$, $A_V = 1$	-24 / +17		噪	
电源	Z _{OUT}	$f = 1\text{kHz}$, $A_V = 1$	0.1		Ω	
		$f = 1\text{kHz}$, $A_V = 1$				
	PSRR	$V_{SY} = \pm 2 \text{ V}$ 至 $\pm 18 \text{ V}$ $-40^\circ\text{C} \leq T_A \leq +125^\circ\text{C}$	110	120	D _b	
		$I_{OUT} = 0 \text{ mA}$ $-40^\circ\text{C} \leq T_A \leq +125^\circ\text{C}$	105		D _b	
		$I_{OUT} = 0 \text{ mA}$ $-40^\circ\text{C} \leq T_A \leq +125^\circ\text{C}$	0.595	0.700	噪	
动态表现	我 SY	$I_{OUT} = 0 \text{ mA}$ $-40^\circ\text{C} \leq T_A \leq +125^\circ\text{C}$	1.00		噪	
		SR	R _L = 2k Ω 到 V_{CM}	2.4	3.7	V / μs 的
		英 符	$V_{IN} = 5\text{mV pp}$, $R_L = 10\text{k}\Omega$, $A_V = 100$		15.9	兆 赫
		U G C	$V_{IN} = 5\text{mV pp}$, $R_L = 10\text{k}\Omega$, $A_V = 1$		9.6	兆 赫
		ΦM			85	学位
	t _S	-3 分贝	$V = 1$, $V_{IN} = 5\text{mV pp}$		13.9	兆 赫
			$A_V = 10$, $V_{IN} = 8\text{V pp}$, 0.1%		4	微 秒
			$V_{IN} = 2\text{V rms}$, $R_L = 2\text{k}\Omega$, $f = 1\text{kHz}$		0.003	%
		THD + N				
噪音表现	e n pp	0.1Hz至10Hz		0.14	$\mu\text{V pp}$	
		f = 1kHz		3.9	纳伏/ $\sqrt{\text{Hz}}$ 的	
		f = 1kHz		0.55	PA / $\sqrt{\text{Hz}}$ 的	
	我					

V SY = ±15.0V, V CM = 0V, T A = 25°C, 除非另有说明.

表4

参数	符号	测试条件/评论	敏	典型	马克斯	单元
输入特性						
偏移电压	V OS	SOIC包 -40°C ≤ T A ≤ +125°C SOT-23, MSOP, TSSOP封装 -40°C ≤ T A ≤ +125°C ADA4084-2 LFCSP封装 -40°C ≤ T A ≤ +125°C	40	100	μV	μV
				200	200	μV
			70	130	μV	μV
				250	250	μV
			100	200	μV	μV
				300	300	μV
偏移电压漂移	ΔVOS /ΔT	T A = 25°C ADA4084-4 LFCSP封装	0.5	1.75	μV/°C	
偏移电压匹配				150	μV	
输入偏置电流	I _B	ADA4084-4 LFCSP封装 -40°C ≤ T A ≤ +125°C	140	250	nA的	nA的
输入偏移电流	I _操 操作系统	-40°C ≤ T A ≤ +125°C	五	25	nA的	nA的
输入电压范围		-40°C ≤ T A ≤ +125°C	-15	400	nA的	nA的
共模抑制比	CMRR	V CM = ±14 V, -40°C ≤ T A ≤ +125°C V CM = ±15 V	106	124	D b	D b
		V CM = ±15 V, -40°C ≤ T A ≤ +125°C	85		D b	D b
大信号电压增益	一个 VO	R L = 2kΩ, -13.5V ≤ VOUT ≤ +13.5V -40°C ≤ T A ≤ +125°C	80	117	D b	D b
输入阻抗			110		D b	D b
微分			105		D b	D b
共同模式				100 1.1	千欧 pF的	
				200 2.5	MΩ pF的	
输出特性						
输出电压高	V OH	R L = 10kΩ到V CM -40°C ≤ T A ≤ +125°C R L = 2kΩ到V CM -40°C ≤ T A ≤ +125°C	14.85	14.9	V	V
			14.8		V	V
			14.5	14.6	V	V
			14.0		V	V
输出电压低	V OL	R L = 10kΩ到V CM -40°C ≤ T A ≤ +125°C R L = 2kΩ到V CM -40°C ≤ T A ≤ +125°C	-14.95	-14.9	V	V
				-14.8	V	V
			-14.9	-14.8	V	V
				-14.7	V	V
短路电流	I SC		±30		毫	
闭环输出阻抗	Z OUT	f = 1kHz, A V = +1	0.1		Ω	
电源						
电源抑制比	PSRR	V SY = ±2 V至±18 V -40°C ≤ T A ≤ +125°C	110	120	D b	D b
每个放大器的电源电流	I SY	I OUT = 0 mA -40°C ≤ T A ≤ +125°C	105	0.625	0.750	毫
				1.050	毫	
动态表现						
转换率	SR	R L = 2kΩ	2.4	4.6	V /μs的	
获得带宽产品	英 镗	V IN = 5mV pp, R L = 10kΩ, A V = 100		15.9	兆赫	
Unity-Gain交叉	UG C	V IN = 5mV pp, R L = 10kΩ, A V = 1		9.9	兆赫	
相位裕度	ΦM			86	学位	
-3 dB闭环带宽	-3分贝	V = 1, V IN = 5mV pp		13.9	兆赫	
解决时间	t S	A V = 10, V IN = 10 V pp, 0.1%		4	微秒	
总谐波失真和噪声	THD + N	V IN = 5 V rms, R L = 2kΩ, f = 1 kHz		0.003	%	
噪音表现						
电压噪声	e n pp	0.1Hz至10Hz		0.1	μVpp	
电压噪声密度	e	f = 1kHz		3.9	纳伏/√Hz的	
当前噪声密度	我	f = 1kHz		0.55	PA /√Hz的	

绝对最大额定值

表5

参数	评分
电源电压	$\pm 18 \text{ V}$
输入电压	$V_{\text{IN}} \leq V_{\text{IN}} \leq V_{\text{IN}}$
差分输入电压 1	$\pm 0.6 \text{ V}$
输出到 GND 的短路持续时间	不定
存储温度范围	-65°C 至 +150°C
工作温度范围	-40°C 至 +125°C
结温范围	-65°C 至 +150°C
引线温度 (焊接 60 秒)	300°C
ESD	
人体模型 2	4.5 千伏
机器模型 3	200 伏
场感应带电器件模型 (FICDM) 4	1.25 千伏

1 对于大于 0.6 V 的输入差分电压，将输入电流限制为小于 5 mA 以防止输入设备的退化或破坏。

2 适用标准: MIL-STD-883, 方法 3015.7.

3 适用标准: JESD22-A115-A (ESD 机型标准 JEDC).

4 适用标准: JESD22-C101-C (JEDEC 的 ESD FICDM 标准).

强调在绝对最大上列出的那些

评级可能会导致产品永久性损坏。这是一个

压力评级只在这些产品的功能操作

或高于业务指示的任何其他条件

不是暗示本规范的一部分。超越操作

长时间的最大运行条件可能

影响产品可靠性。

热阻

θ_{JA} 指定用于焊接在 4 层 JEDEC 上的器件

标准印刷电路板 (PCB)，零气流。

表6. 热阻

包装类型	θ_{JA}	θ_{JC}	单元
5 引脚 SOT-23 (RJ-5)	219.4	155.6	°C / W
8 引脚 SOIC_N (R-8)	121	43	°C / W
8 引脚 MSOP (RM-8)	142	45	°C / W
8 引脚 LFCSP (CP-8-12) 1, 84	40	40	°C / W
14 引脚 TSSOP (RU-14)	112	43	°C / W
16 引脚 LFCSP (CP-16-26) 25, 3	三十一	三十一	°C / W

1 数值基于 4 层 (2S2P) JEDEC 标准 PCB，具有四个散热片孔，裸焊盘焊接到 PCB.

2 数值基于 4 层 (2S2P) JEDEC 标准 PCB，具有 9 个散热片孔，裸焊盘焊接到 PCB.

3 θ_{JC} 在包装顶部测量。

ESD 警告



ESD (electrostatic discharge) sensitive device.
Charged devices and circuit boards can discharge without detection. Although this product features patented or proprietary protection circuitry, damage may occur on devices subjected to high energy ESD. Therefore, proper ESD precautions should be taken to avoid performance degradation or loss of functionality.

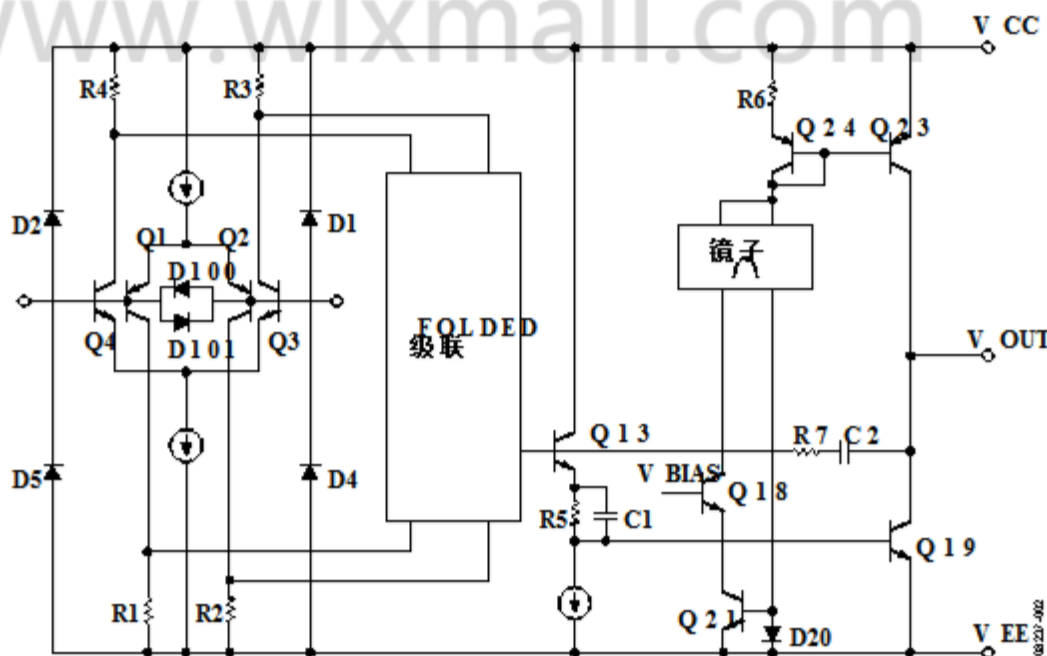


图2. 简化原理图

引脚配置和功能说明



图3. ADA4084-1,8引脚SOIC (R)

表7. 8引脚SOIC, ADA4084-1引脚功能描述

销号	助记符	描述
1	NIC	不内部连接
2	-IN	负面的投入
3	+ IN	积极的投入
4	V-	负面供应
五	NIC	不内部连接
6	OUT	产量
7	V+	积极的供应
8	NIC	不内部连接

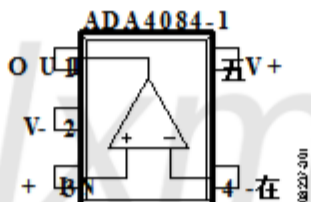


图4. ADA4084-1,5引脚SOT-23 (RJ)

表8. 5引脚SOT-23, ADA4084-1引脚功能描述

销号	助记符	描述
1	OUT	产量
2	V-	负面供应
3	+ IN	积极的投入
4	-IN	负面的投入
五	V+	积极的供应



图5. ADA4084-2,8引脚LFCSP (CP)

表9. 8引脚LFCSP, ADA4084-2引脚功能描述

销号	助记符	描述
1	OUT A	输出, 通道A
2	-IN A	负输入, 通道A
3	+ IN A	正输入, 通道A
4	V-	负面供应
五	+ IN B	正输入, 通道B
6	-IN B	负输入, 通道B
7	OUT B	输出, 通道B
8	V+	积极的供应
	EPAD	裸露的垫.对于LFCSP封装, 裸露焊盘必须连接到V-.

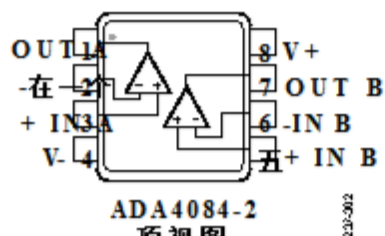


图6. ADA4084-2,8引脚MSOP (RM)

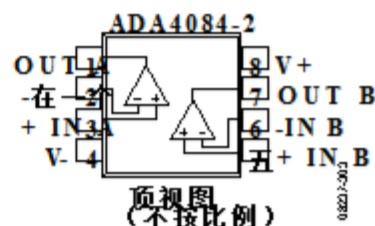


图7. ADA4084-2,8引脚SOIC (R)

表10. 8引脚MSOP, 8引脚SOIC, ADA4084-2引脚功能描述

销号	助记符	描述
1	OUT A	输出, 通道A
2	-IN A	负输入, 通道A
3	+IN A	正输入, 通道A
4	V-	负面供应
5	+IN B	正输入, 通道B
6	-IN B	负输入, 通道B
7	OUT B	输出, 通道B
8	V+	正电源B

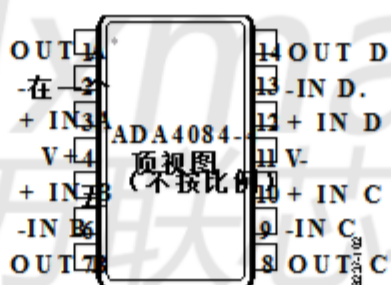
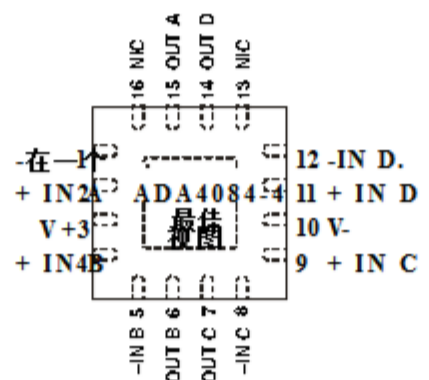


图8. ADA4084-4,14引脚TSSOP (RU)

表11. 14引脚TSSOP, ADA4084-4引脚功能描述

销号	助记符	描述
1	OUT A	输出, 通道A
2	-IN A	负输入, 通道A
3	+IN A	正输入, 通道A
4	V+	积极的供应
5	+IN B	正输入, 通道B
6	-IN B	负输入, 通道B
7	OUT B	输出, 通道B
8	OUT C	输出, 通道C
9	-IN C	负输入, 通道C
10	+IN C	正输入, 通道C
11	V-	负面供应
12	+IN D	正输入, 通道D
13	-IN D.	负输入, 通道D
14	OUT D	输出, 通道D



笔记
1. NIC = 不是内部连接
2. 对于LFCSP包装，暴露的垫
必须连接到V-。
0821-10

图9. ADA4084-4,16引脚LFCSP (CP)

表12. 16引脚LFCSP, ADA4084-4引脚功能描述

销号	助记符	描述
1	-IN A	负输入通道A
2	+ IN A	正输入，通道A
3	V+	积极的供应
4	+ IN B	正输入，通道B
5	-IN B	负输入，通道B
6	OUT B	输出，通道B
7	OUT C	输出，通道C
8	-IN C	负输入，通道C
9	+ IN C	正输入，通道C
10	V-	负面供应
11	+ IN D	正输入，通道D
12	-IN D.	负输入，通道D
13	NIC	不内部连接
14	OUT D	输出，通道D
15	OUT A	输出，通道A
16	NIC	不内部连接

典型的性能特征

$T_A = 25^\circ\text{C}$, 除非另有说明。

$\pm 1.5 \text{ V}$ 特性

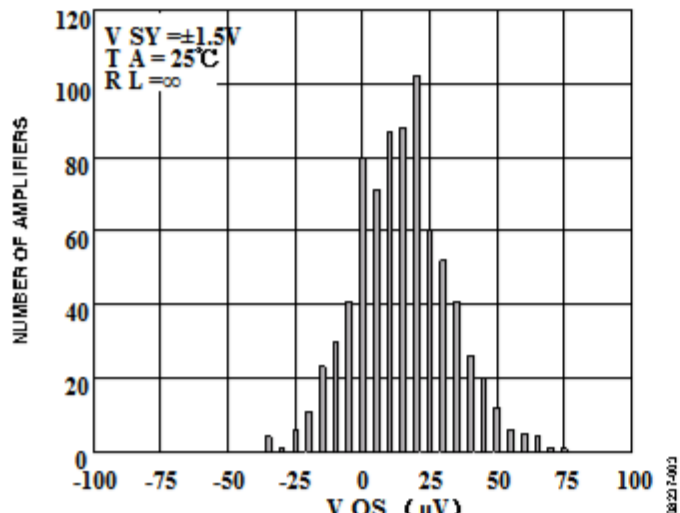


图10. 输入失调电压 (V OS) 分布, SOIC

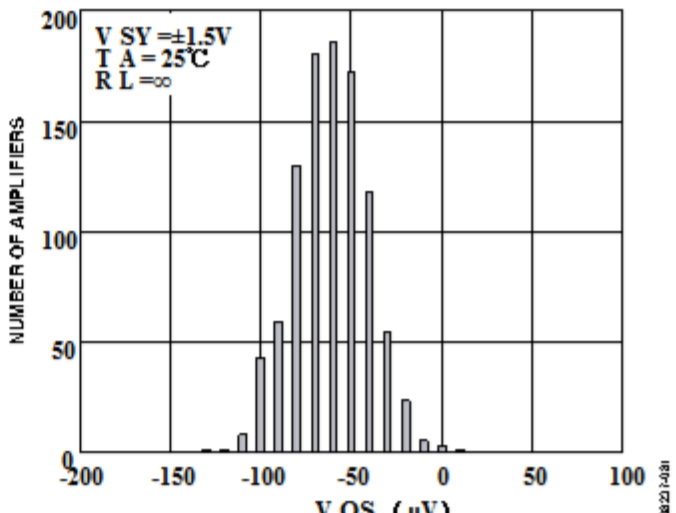


图13. 输入失调电压 (V OS) 分配, LFCSP

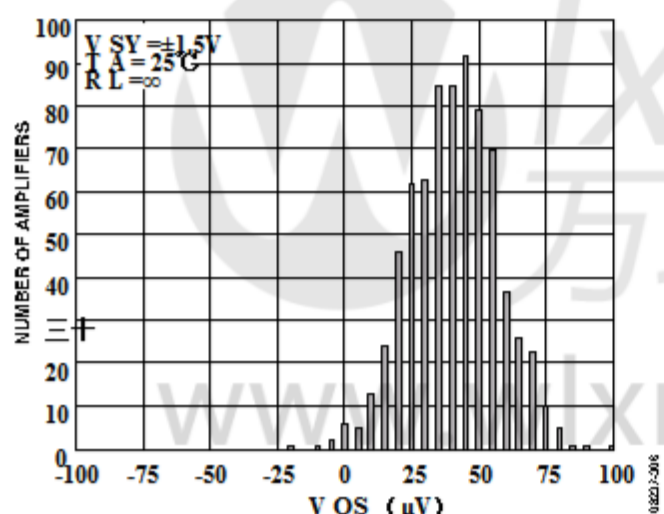


图11. 输入失调电压 (V OS) 分配, SOT-23

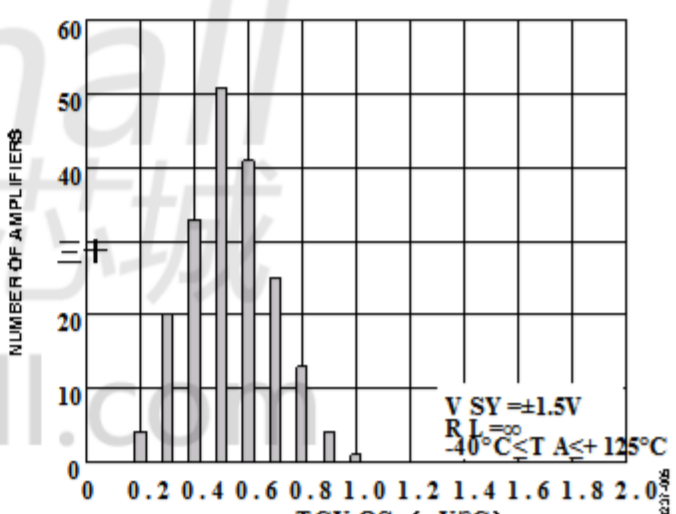


图14. TCV OS 分配, SOIC, MSOP和TSSOP

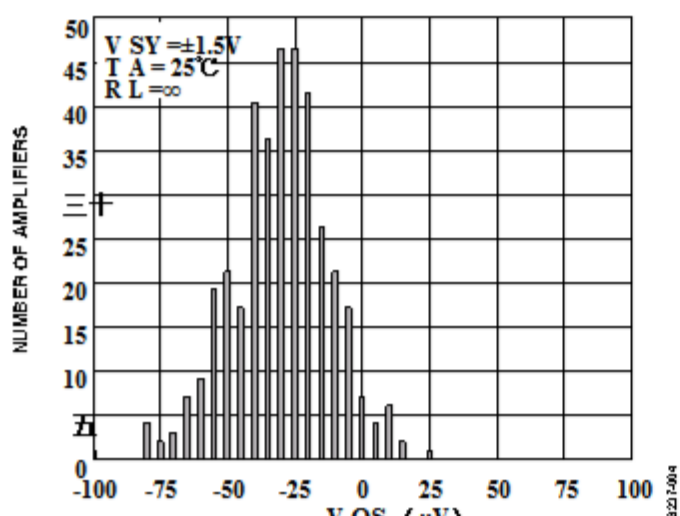


图12. 输入失调电压 (V OS) 分布, MSOP和TSSOP

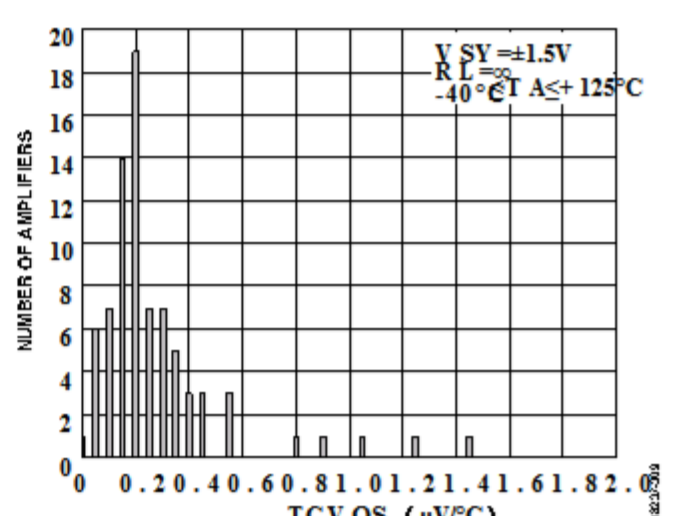


图15. TCV OS 分配, SOT-23

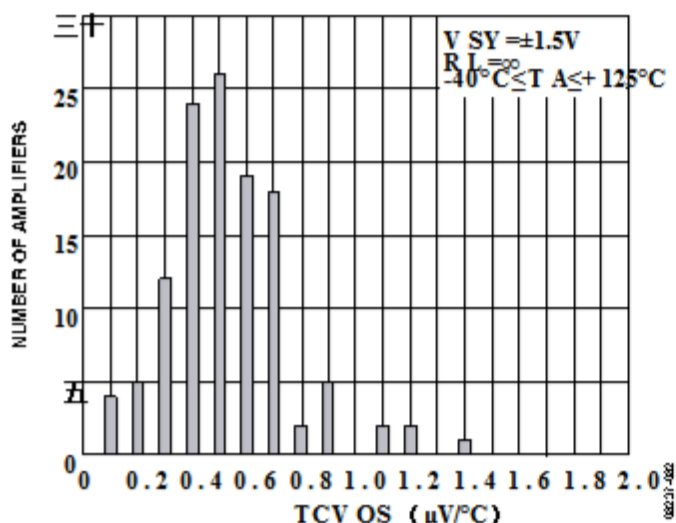


图16. TCV 操作系统分配, LFCSP

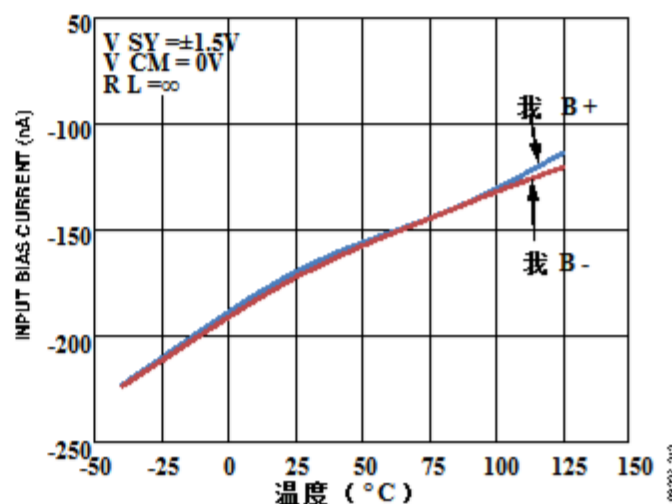


图19. 输入偏置电流与温度的关系

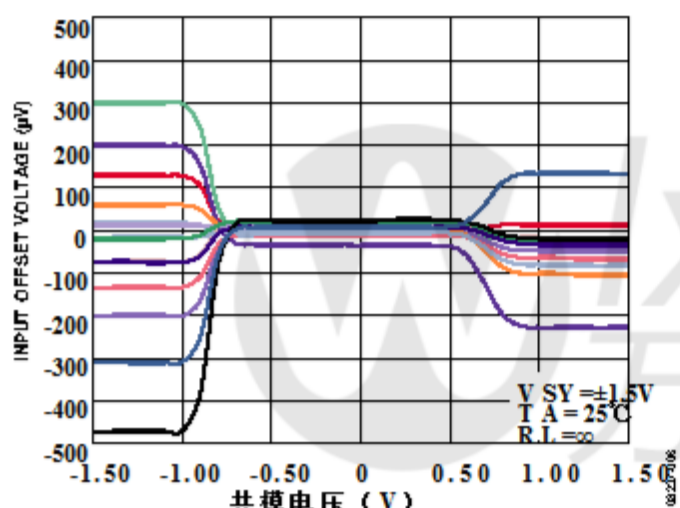


图17. 输入失调电压与共模电压的关系

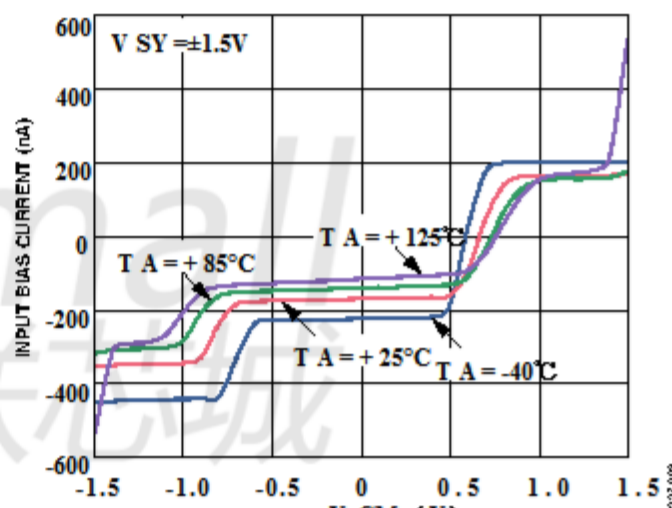


图20. 各种温度下输入偏置电流与V CM的关系

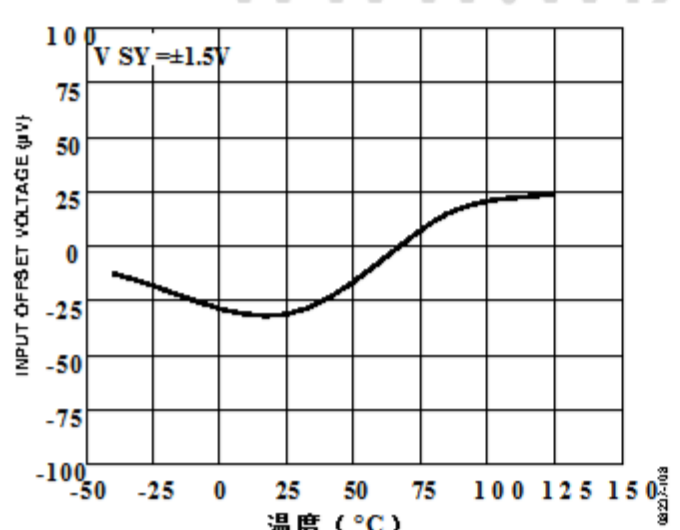


图18. 输入失调电压与温度的关系

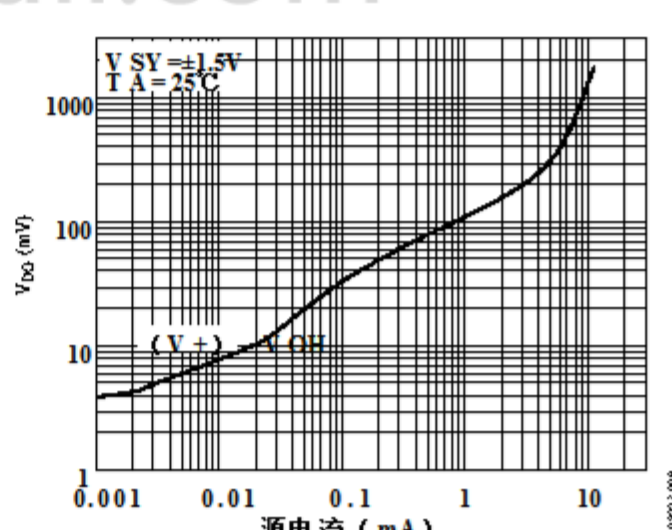


图21. 压差电压 (V DO) 与源电流的关系

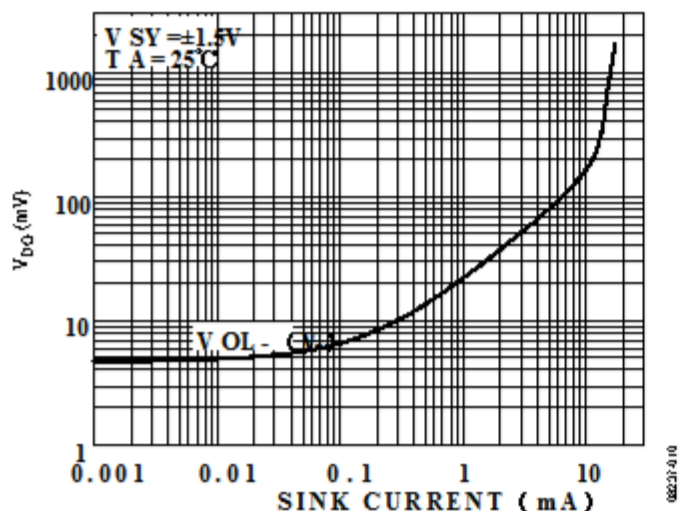


图22. 压差电压 (V DO) 与灌电流

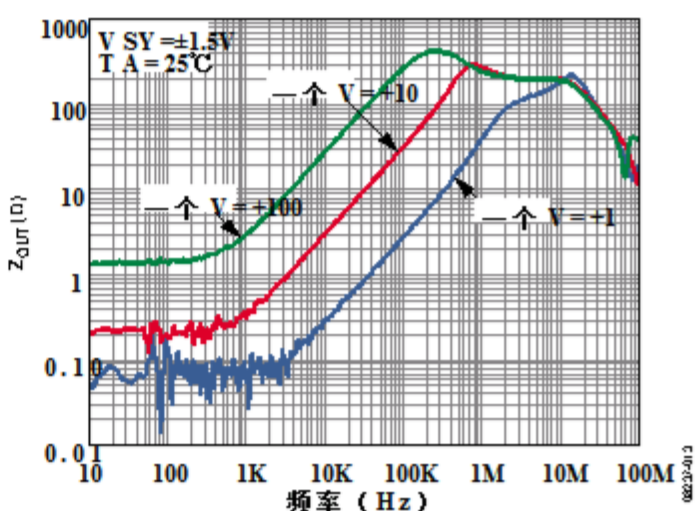


图25. 输出阻抗 (Z OUT) 与频率的关系

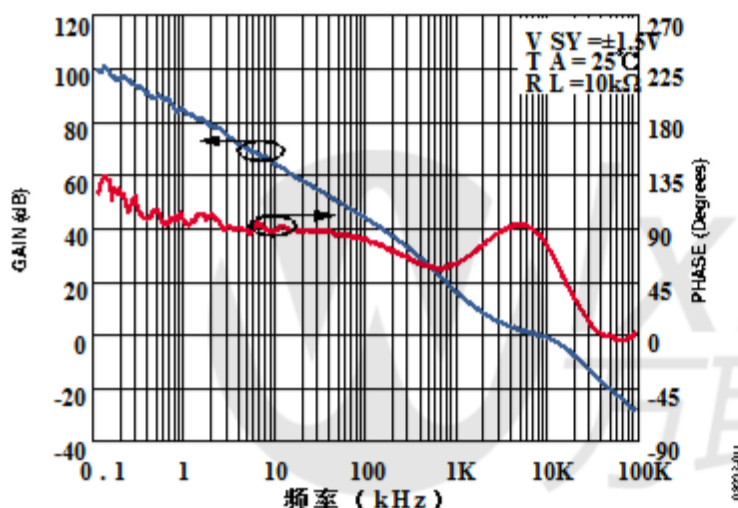


图23. 开环增益和相位与频率的关系

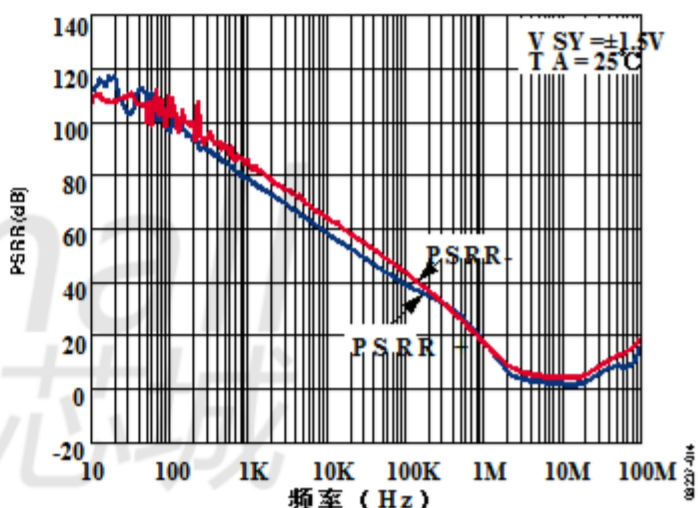


图26. PSRR与频率的关系

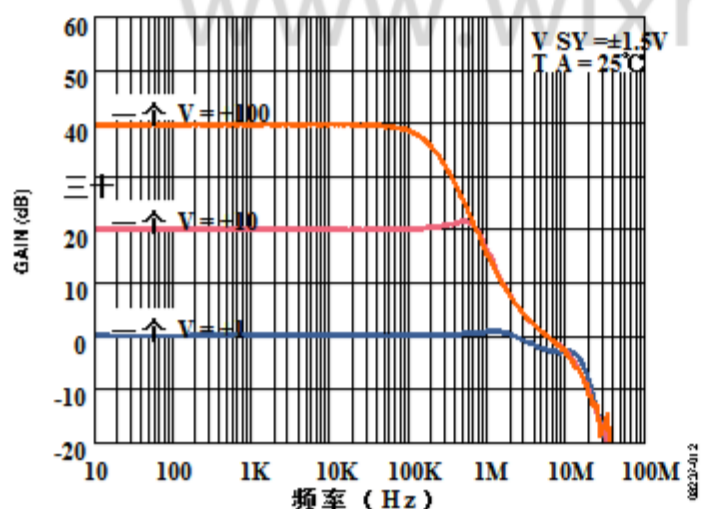


图24. 闭环增益与频率的关系

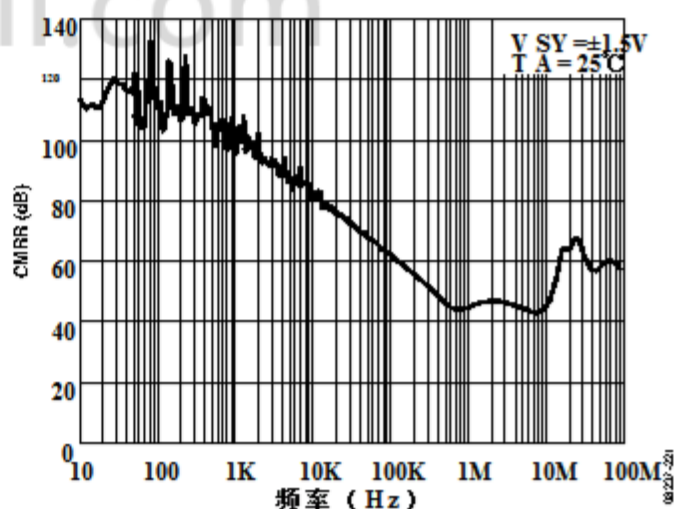


图27. CMRR与频率的关系

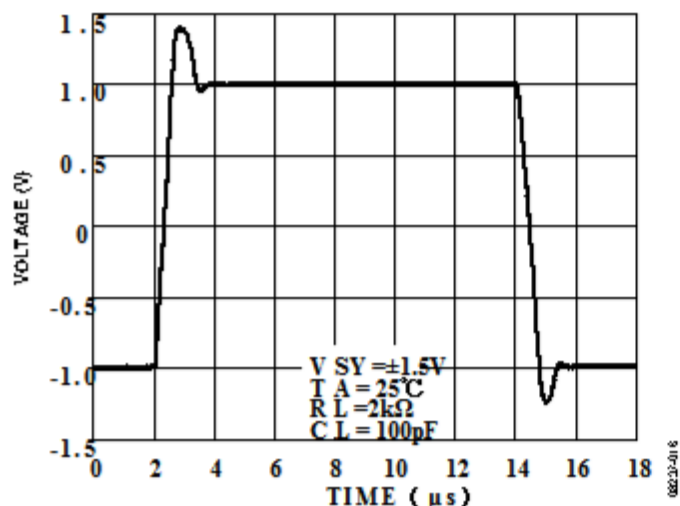


图28.大信号瞬态响应

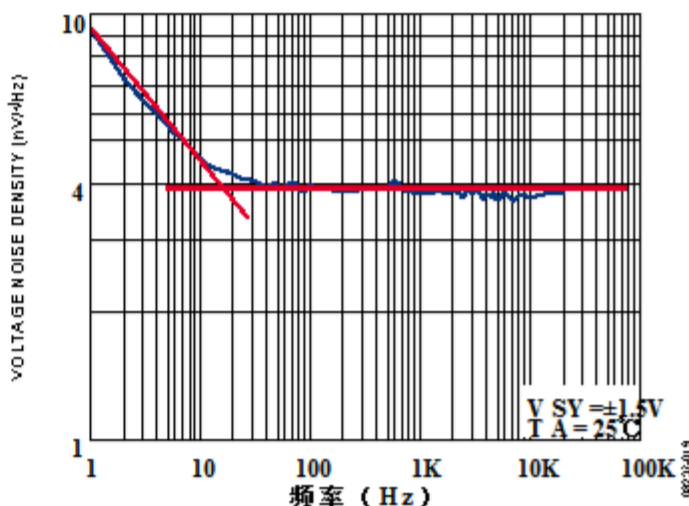


图31.电压噪声密度与频率的关系

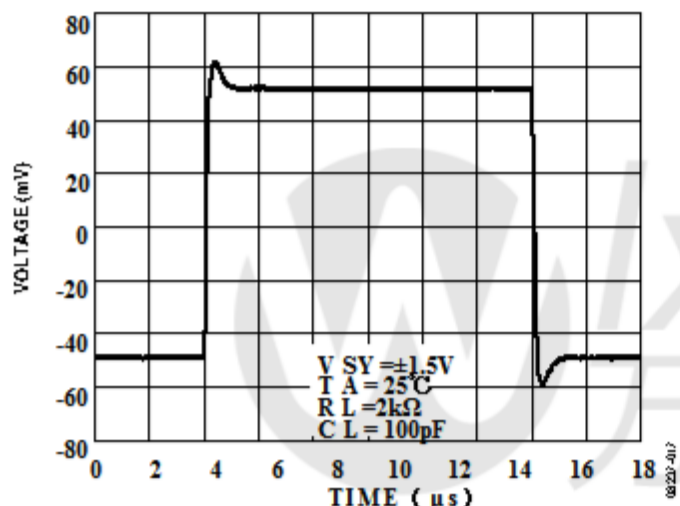


图29.小信号瞬态响应

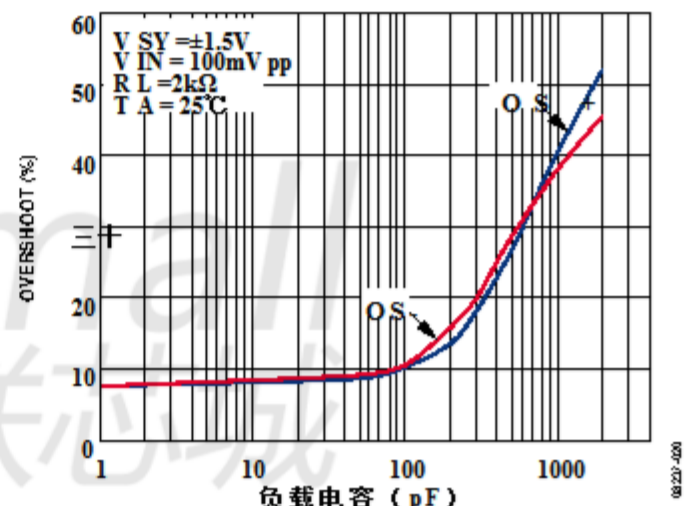


图32.过冲与负载电容

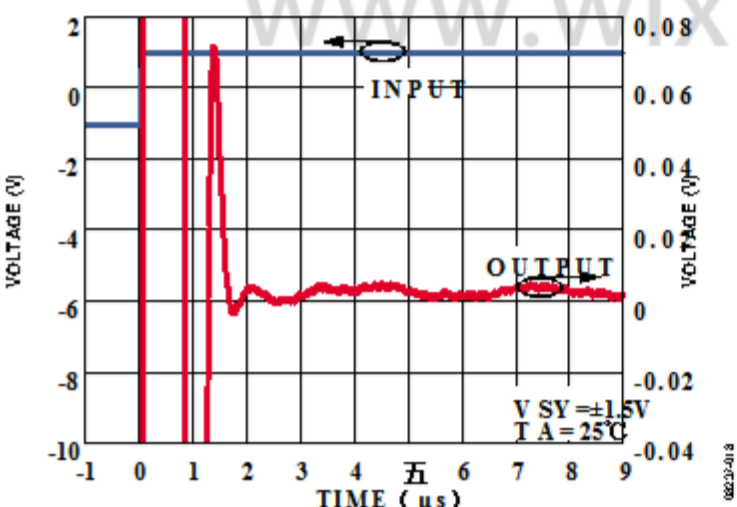


图30.稳定时间

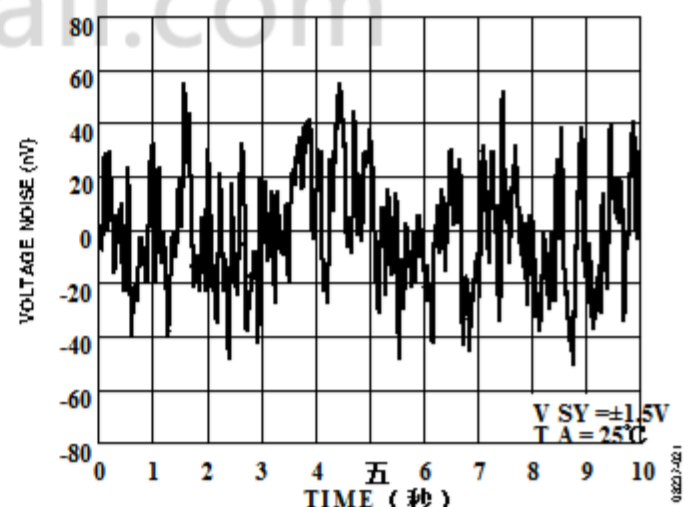


图33.电压噪声, 0.1 Hz至10 Hz

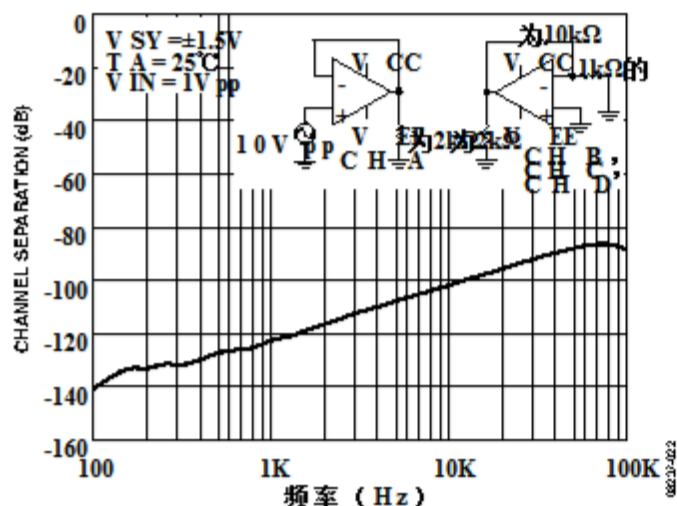


图34. 通道分离与频率

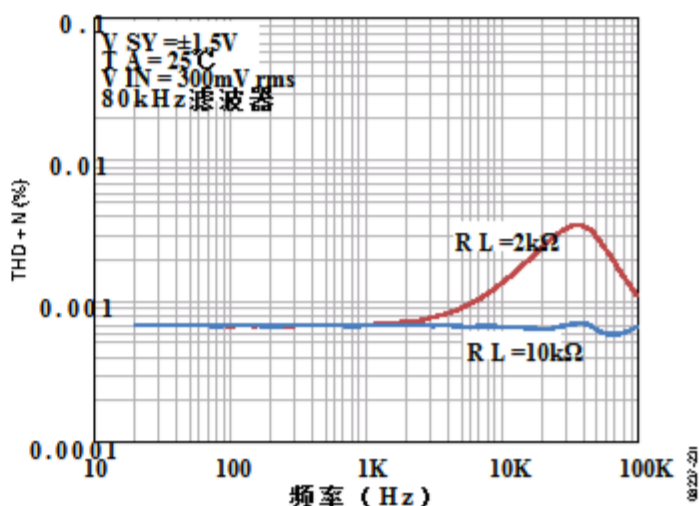


图37. THD + N对频率，80 kHz滤波器

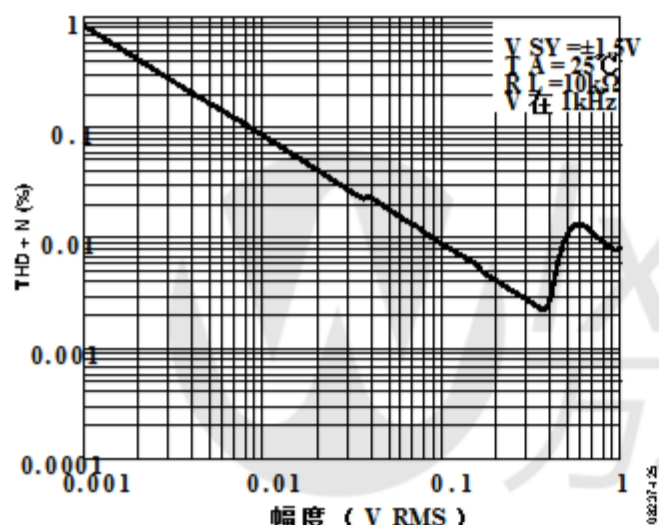


图35. THD + N与幅度

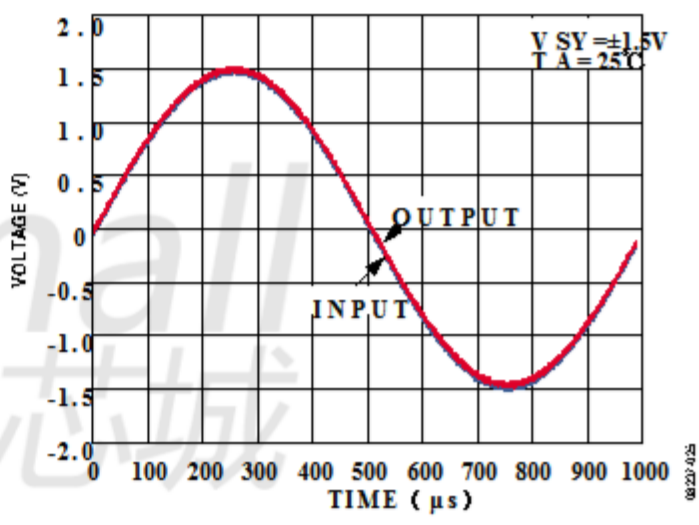


图38. 没有相位反转

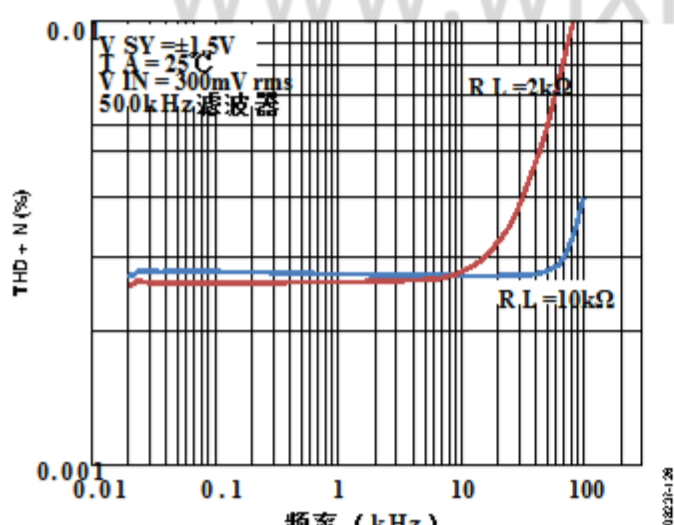


图36. THD + N与频率的关系，500 kHz滤波器

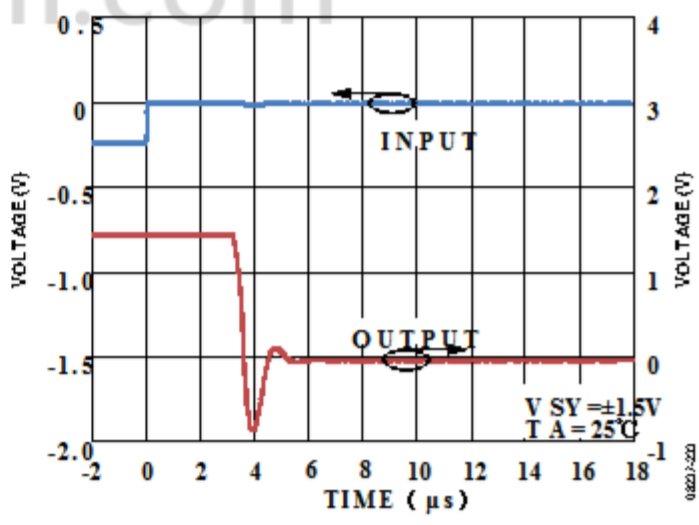


图39. 正50% 过载恢复

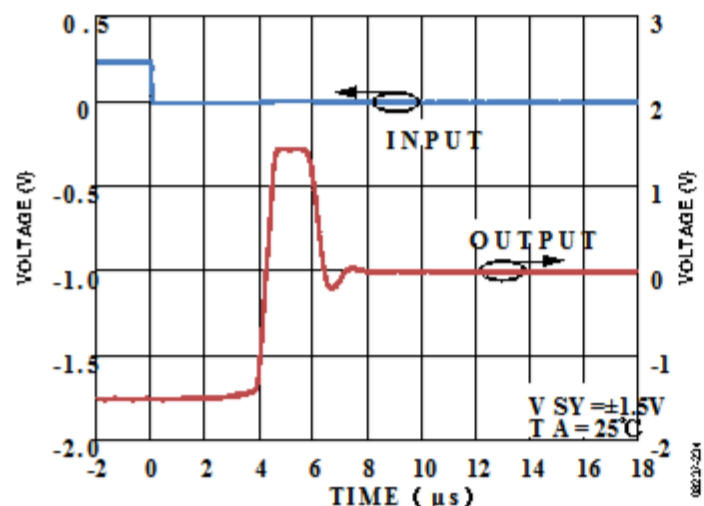


图40.负50%过载恢复

Wlxmall
万联芯城
www.wlxmall.com

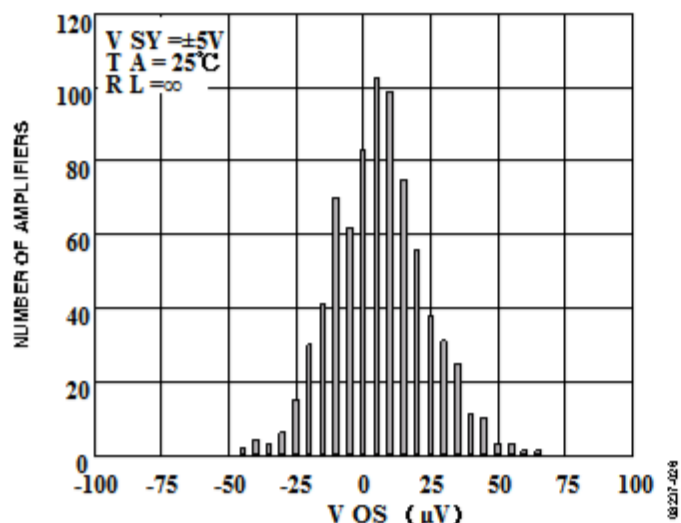
±5 V特性

图41. 输入失调电压 (V OS) 分布, SOIC

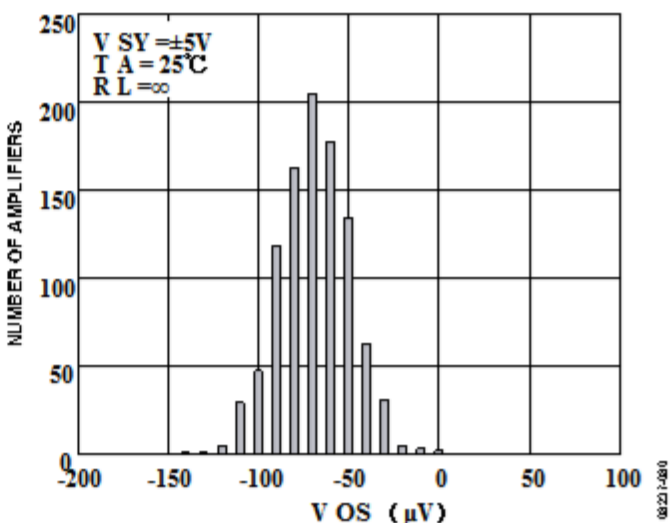


图44. 输入失调电压 (V OS) 分布, LFCSP

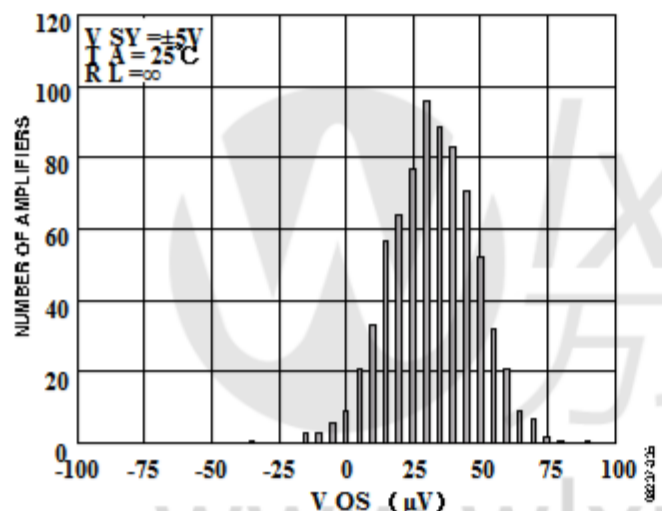


图42. 输入失调电压 (V OS) 分布, SOT-23

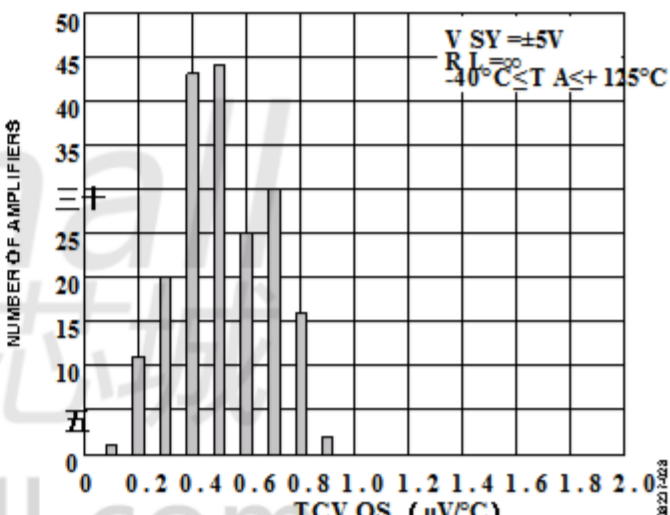


图45. TCV OS 分配, SOIC, MSOP和TSSOP

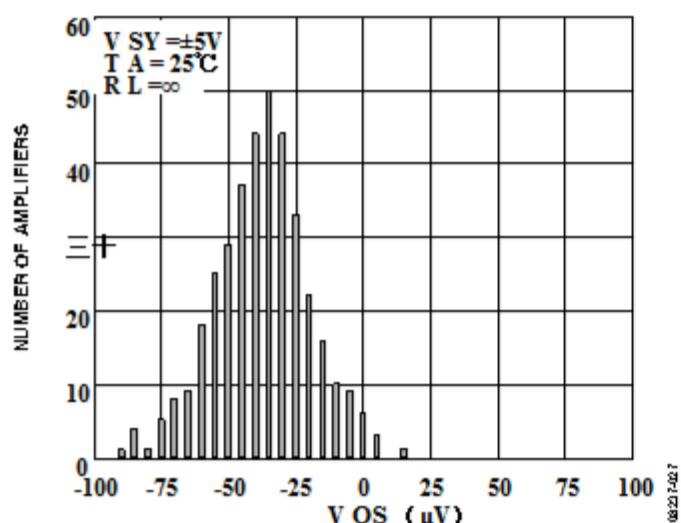


图43. 输入失调电压 (V OS) 分布, MSOP和TSSOP

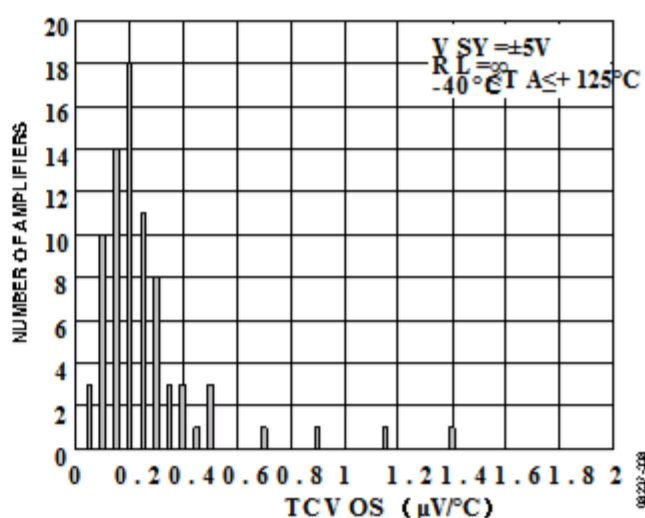


图46. SOT-23的 TCV 操作系统 分配

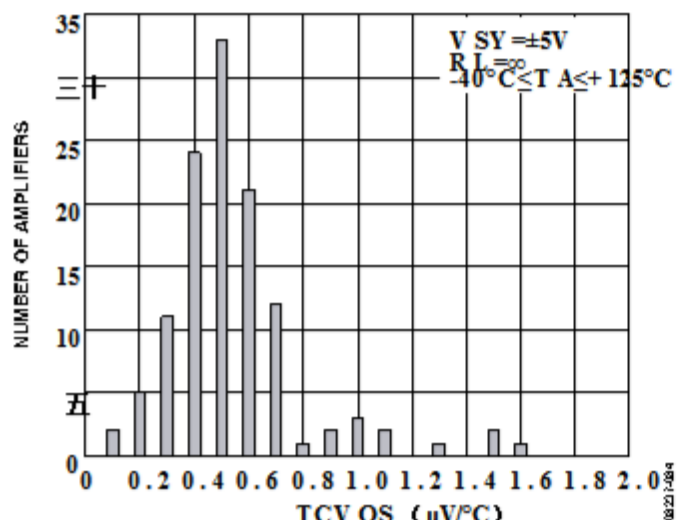


图47. TCV 操作系统分配, LFCSP

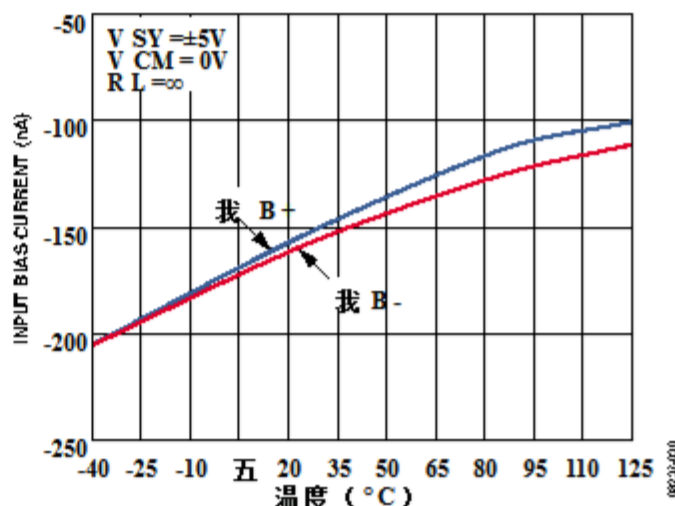


图50. 输入偏置电流与温度的关系

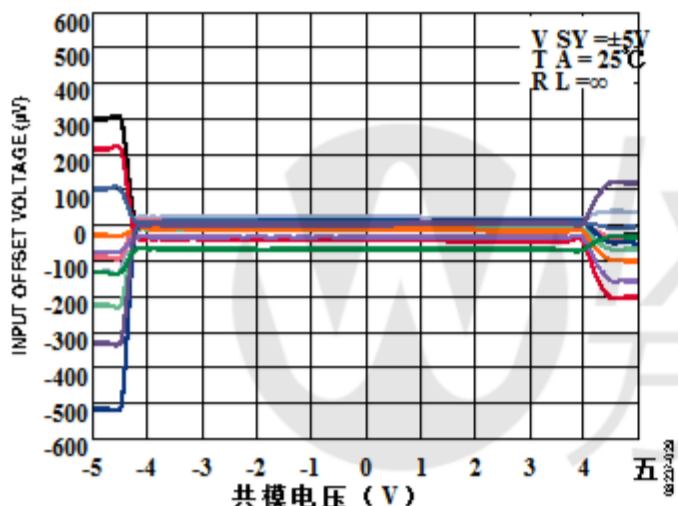


图48. 输入失调电压与共模电压的关系

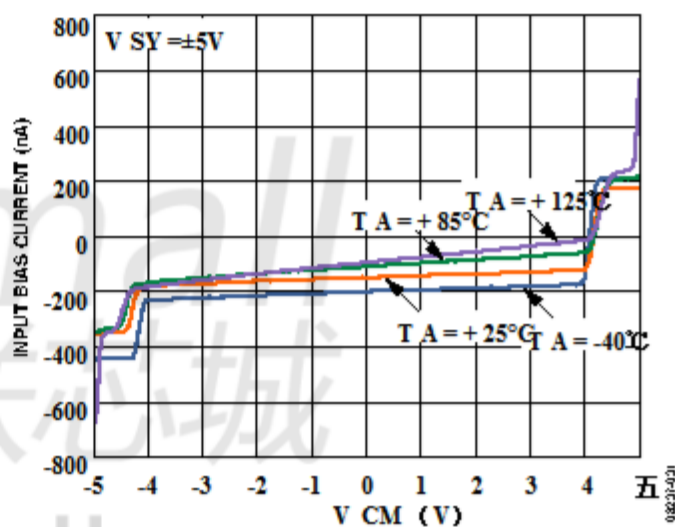


图51. 各种温度下输入偏置电流与V CM的关系

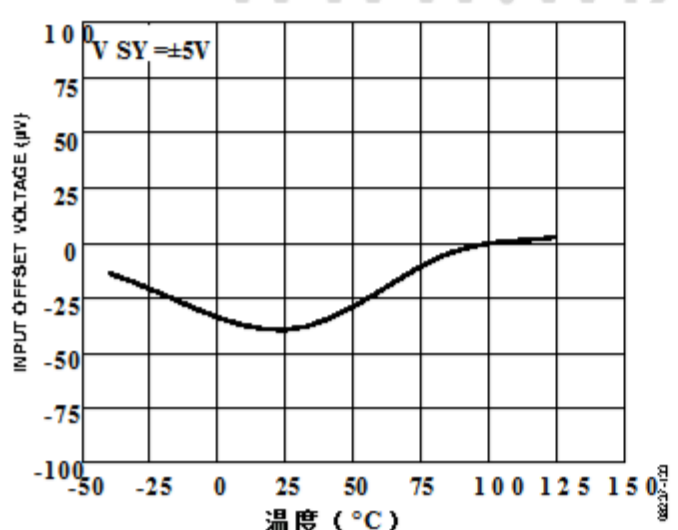
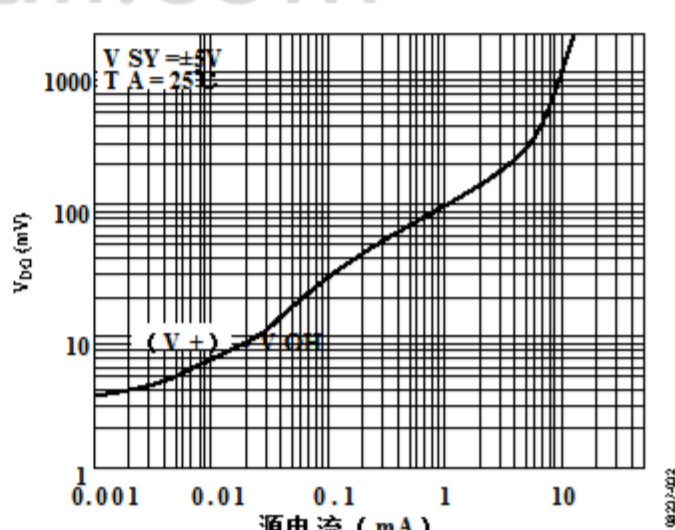
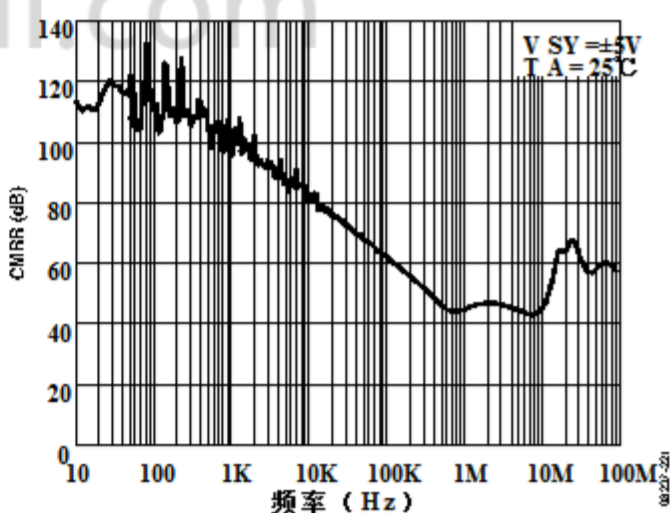
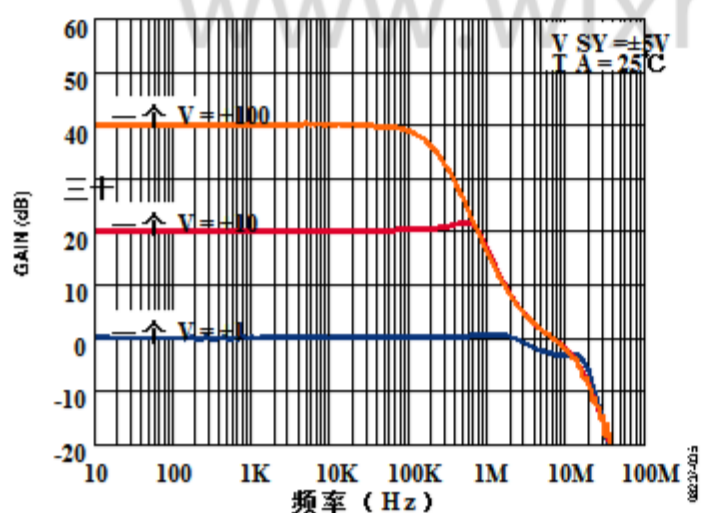
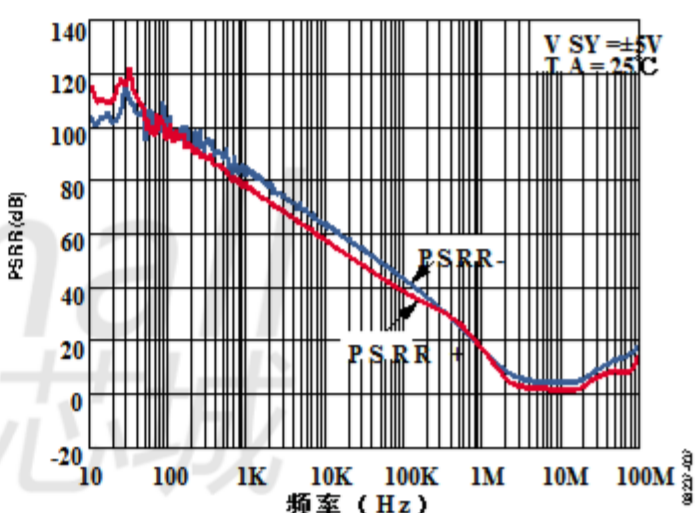
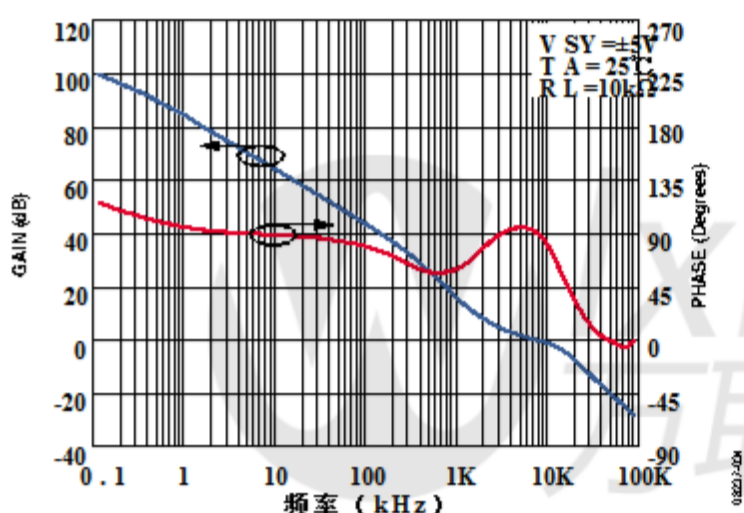
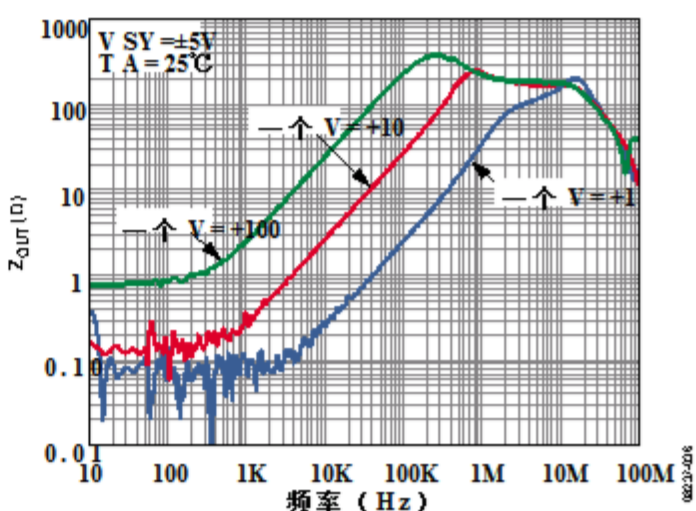
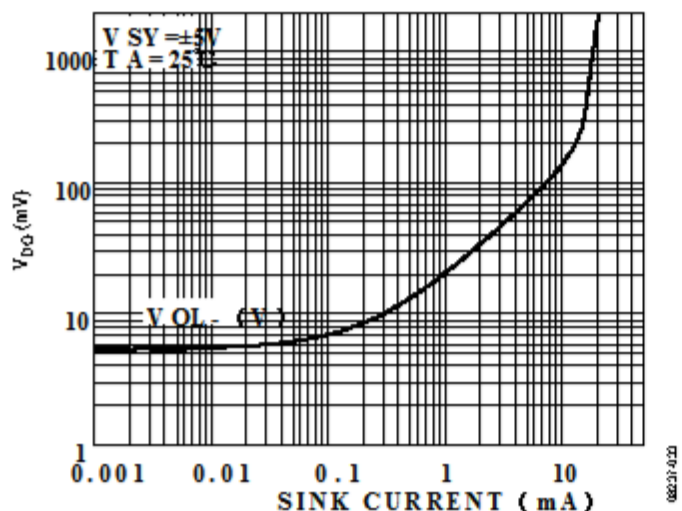


图49. 输入失调电压与温度的关系

图52. 压差电压 (V_{DO}) 与源电流的关系



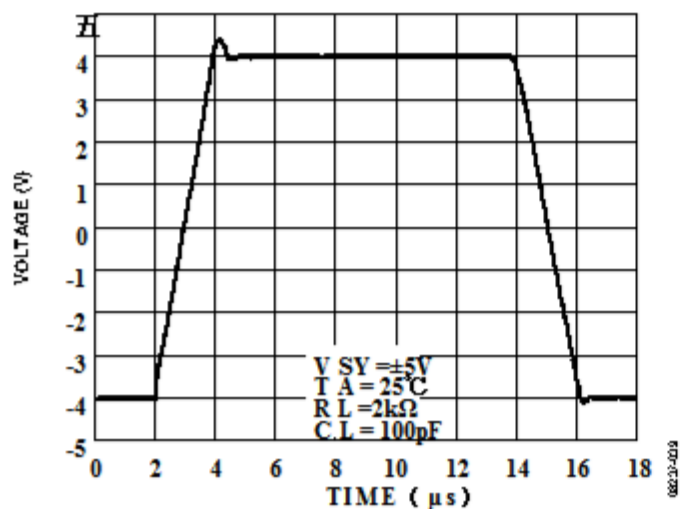


图59.大信号瞬态响应

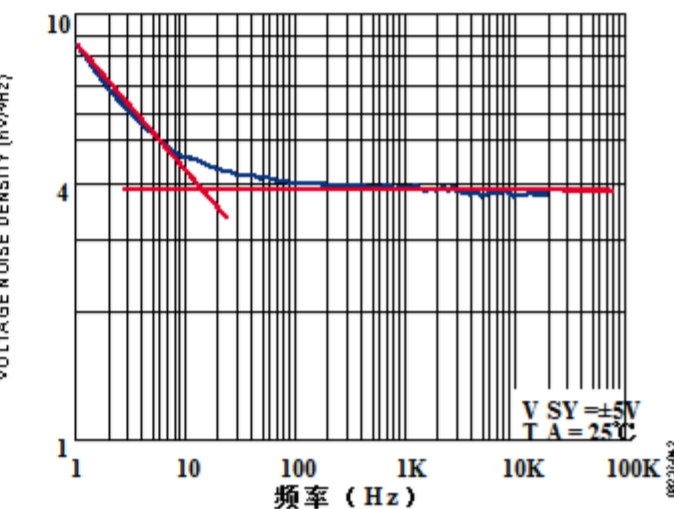


图62.电压噪声密度与频率的关系

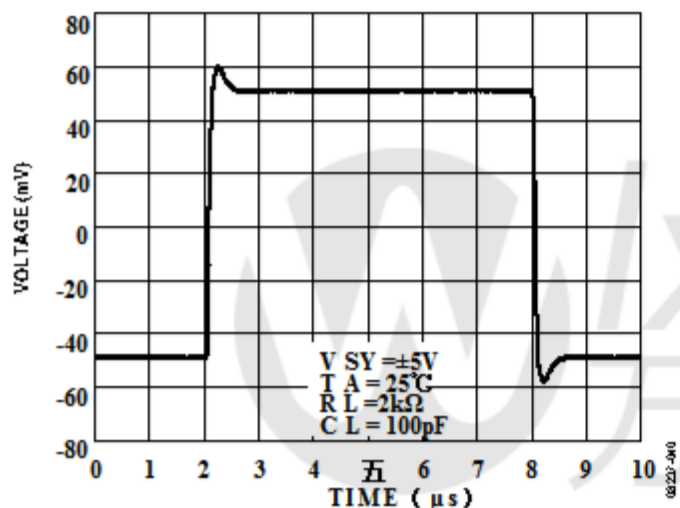


图60.小信号瞬态响应

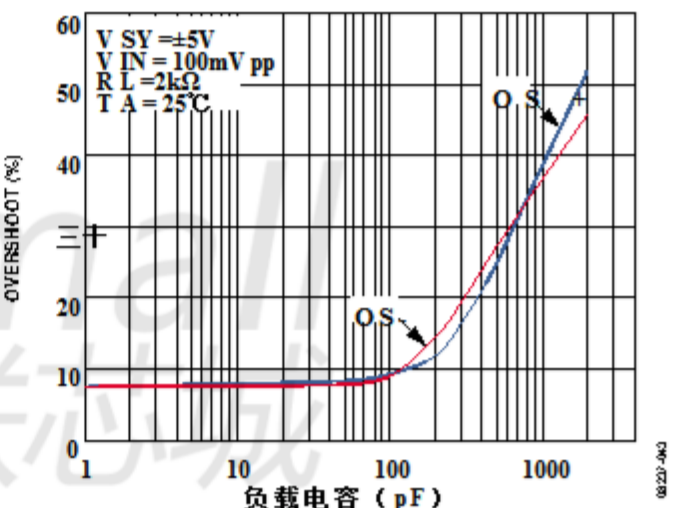


图63.过冲与负载电容

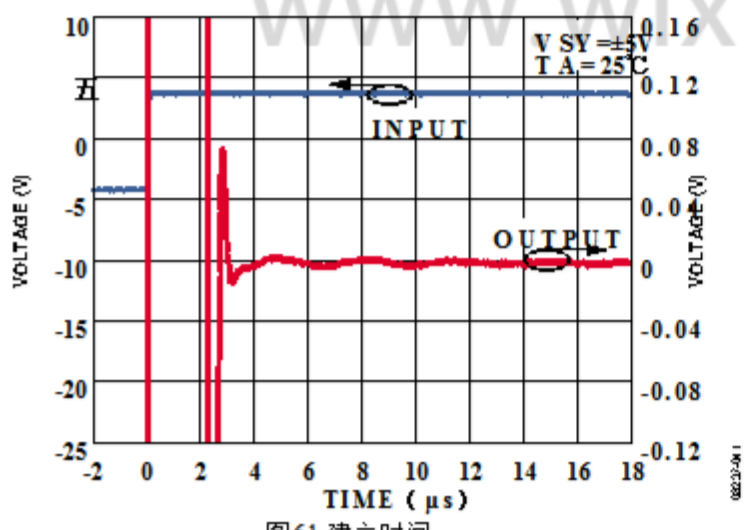


图61.建立时间

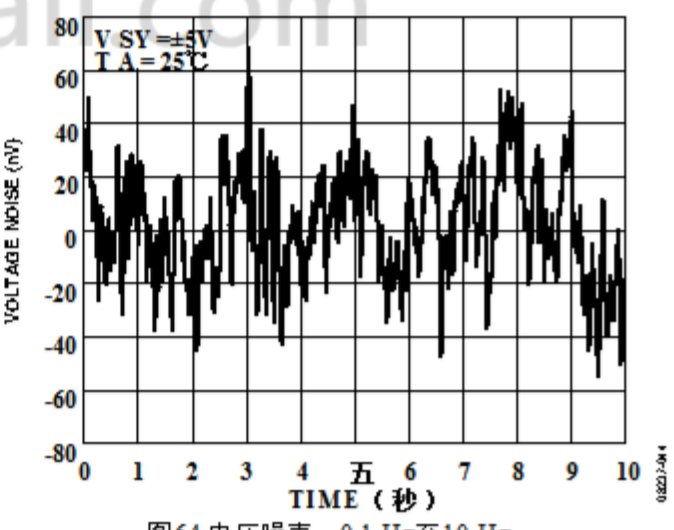


图64.电压噪声, 0.1 Hz至10 Hz

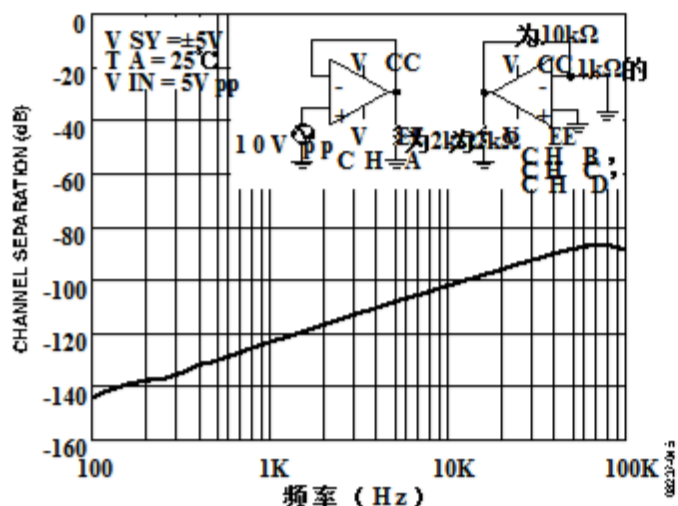


图65. 通道分离与频率

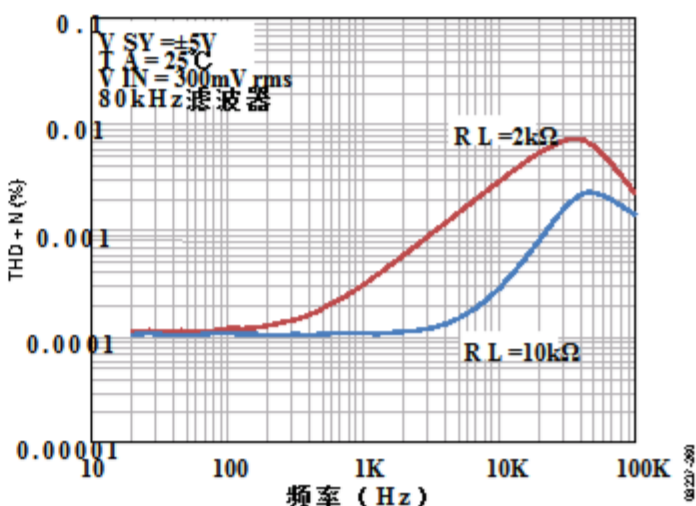


图68. THD + N与频率的关系，80 kHz滤波器

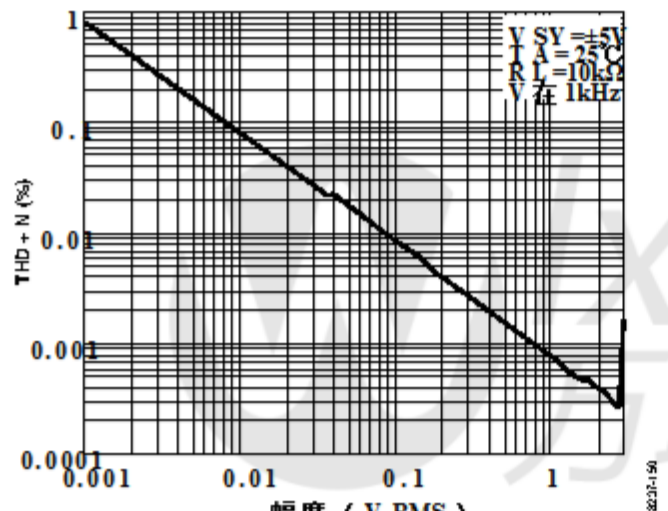


图66. THD + N与幅度

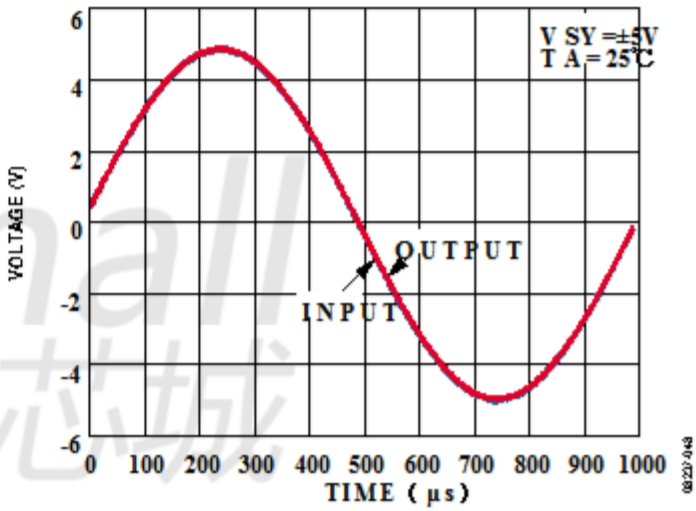


图69. 没有相位反转

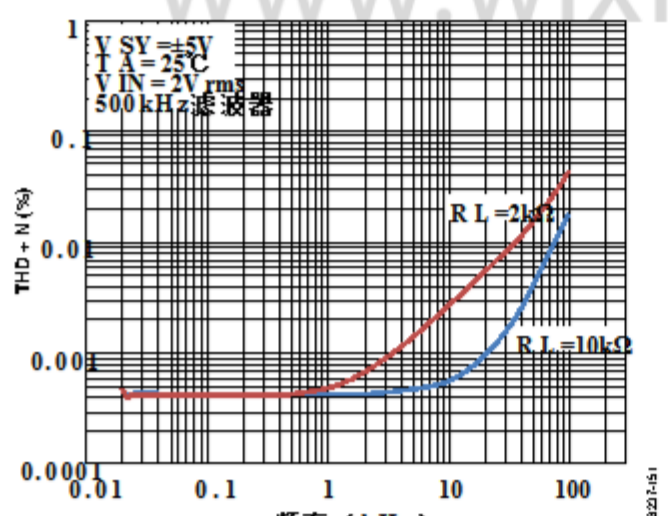


图67. THD + N与频率的关系，500 kHz滤波器

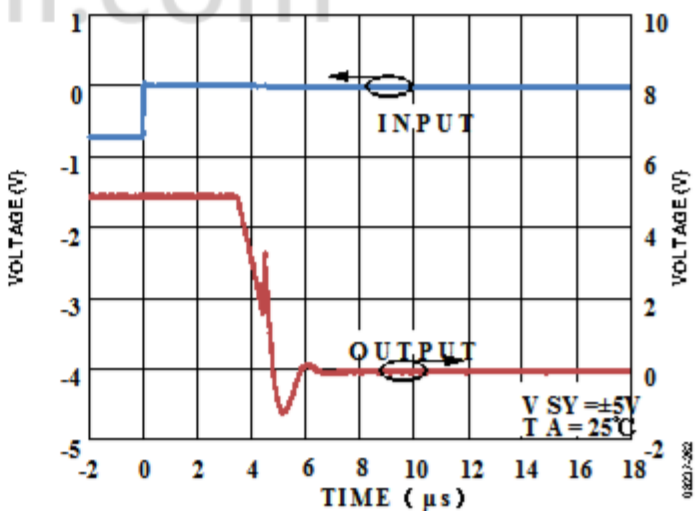


图70. 正向50%过载恢复

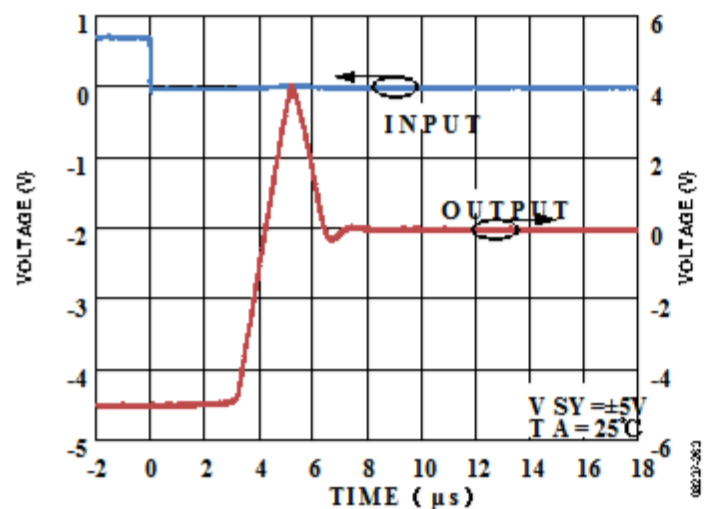


图71.负50%过载恢复

wlxmall
万联芯城
www.wlxmall.com

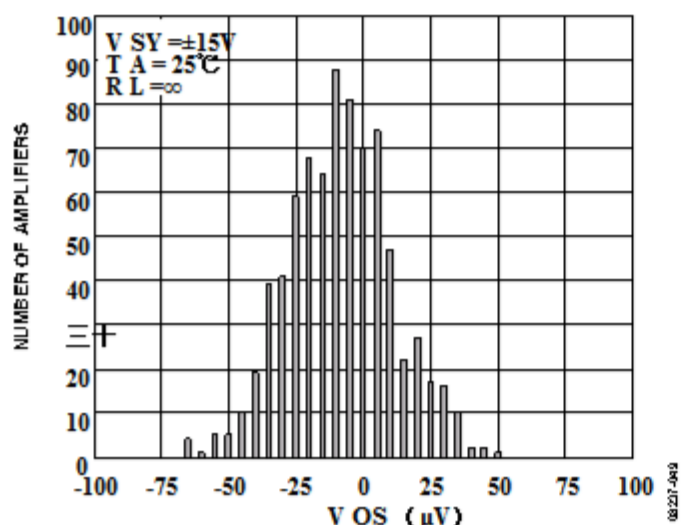
± 15 V特性

图72. 输入失调电压 (V OS) 分配, SOIC

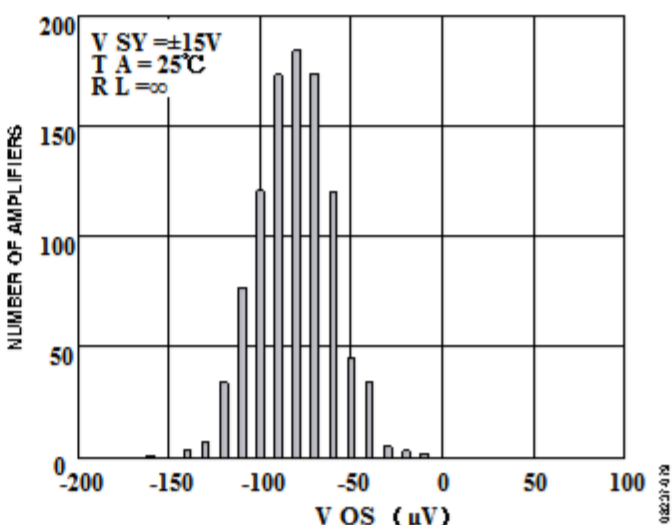


图75. 输入失调电压 (V OS) 分配, LFCSP

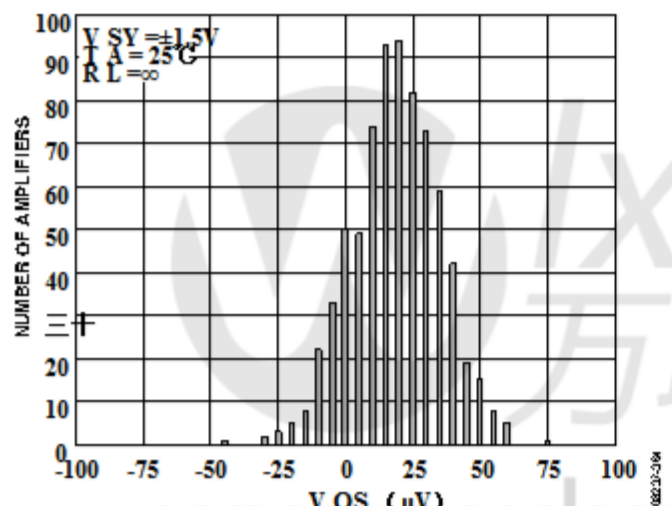


图73. 输入失调电压 (V OS) 分配, SOT-23

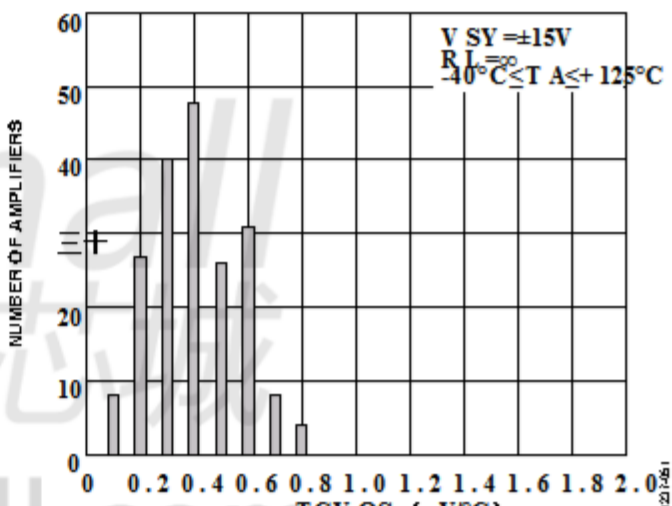


图76. TCV OS 分配, SOIC, MSOP和TSSOP

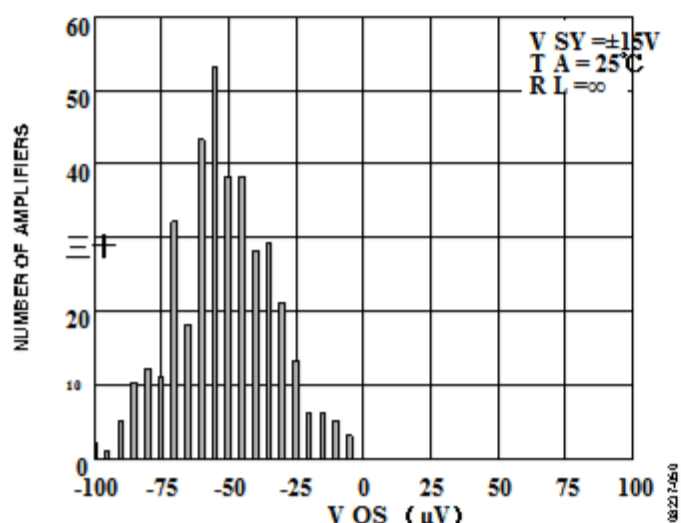


图74. 输入失调电压 (V OS) 分配, MSOP和TSSOP

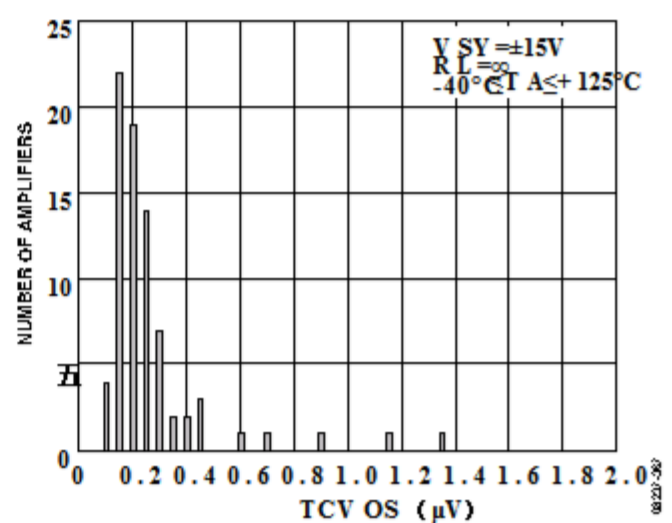


图77. TCV 操作系统 分配, SOT-23

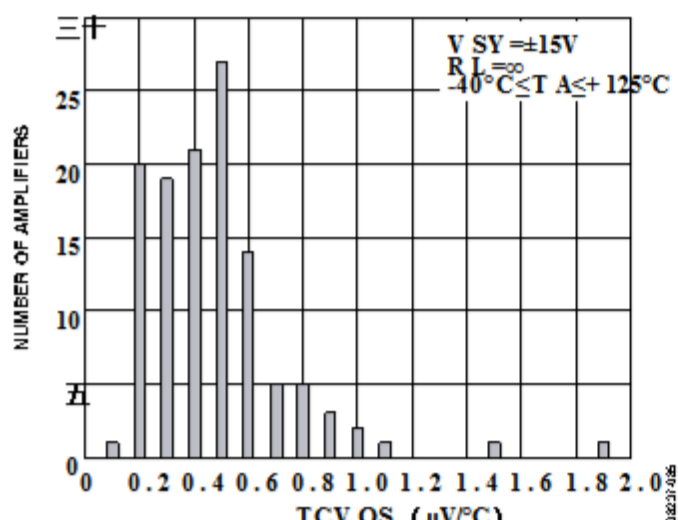


图78. TCV 操作系统分配, LFCSP

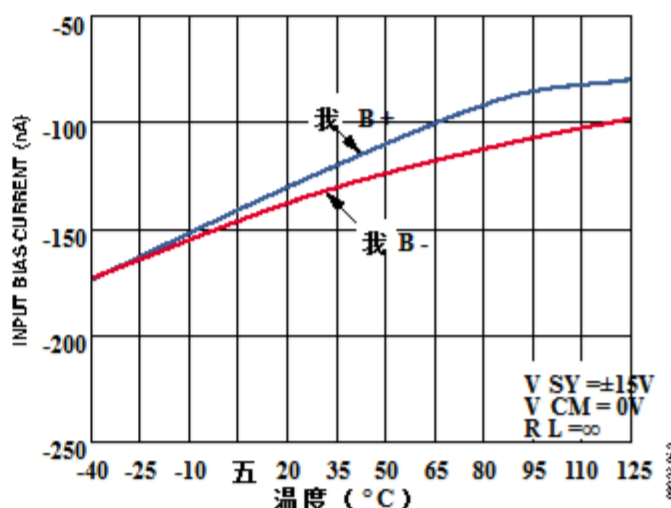


图81. 输入偏置电流与温度的关系

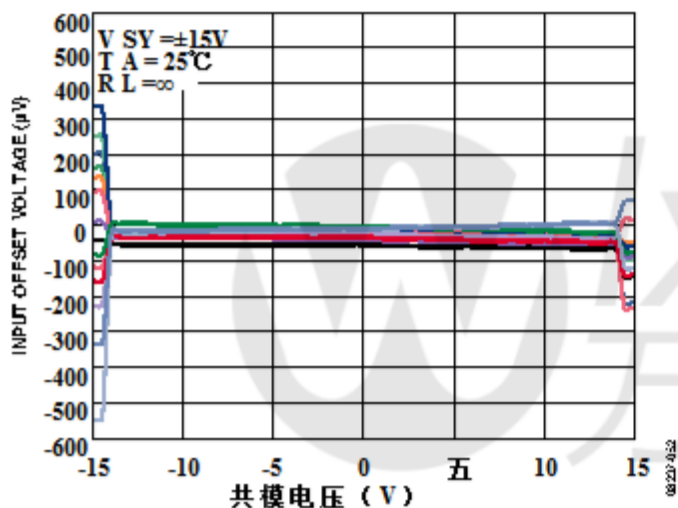


图79. 输入失调电压与共模电压的关系

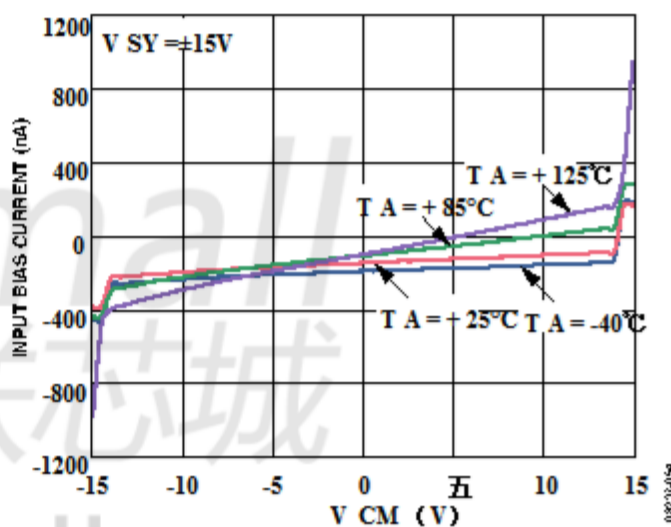


图82. 各种温度下输入偏置电流与V CM的关系

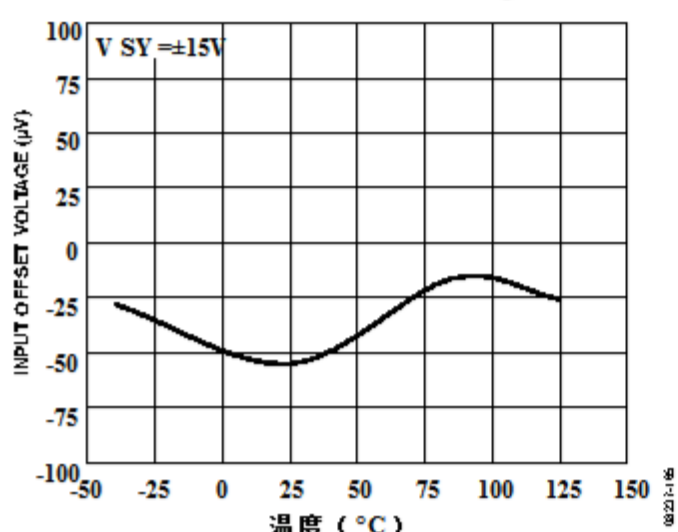


图80. 输入失调电压与温度的关系

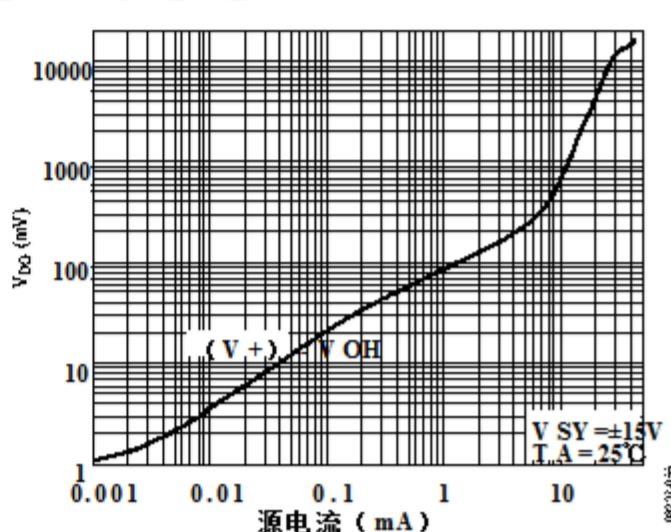


图83. 压差电压 (V DO) 与源电流的关系

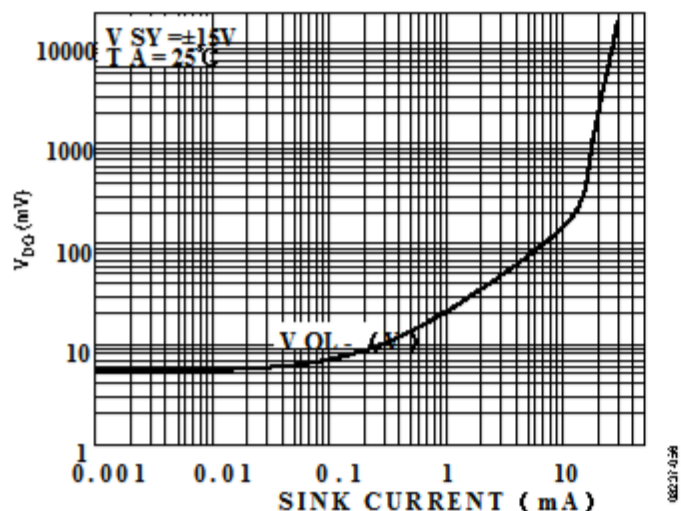
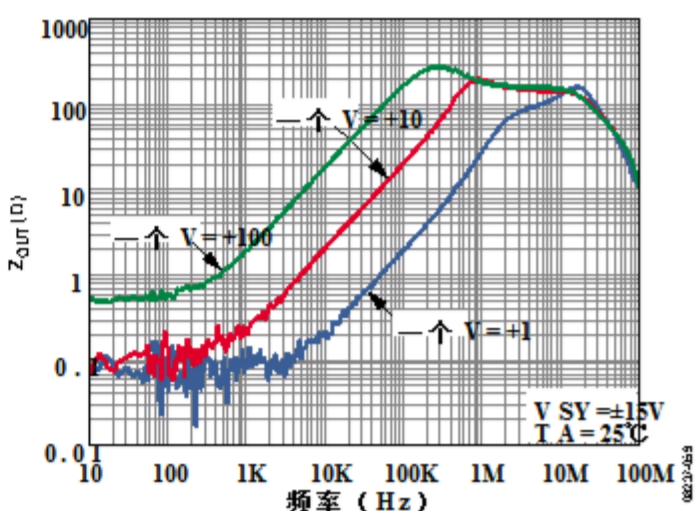
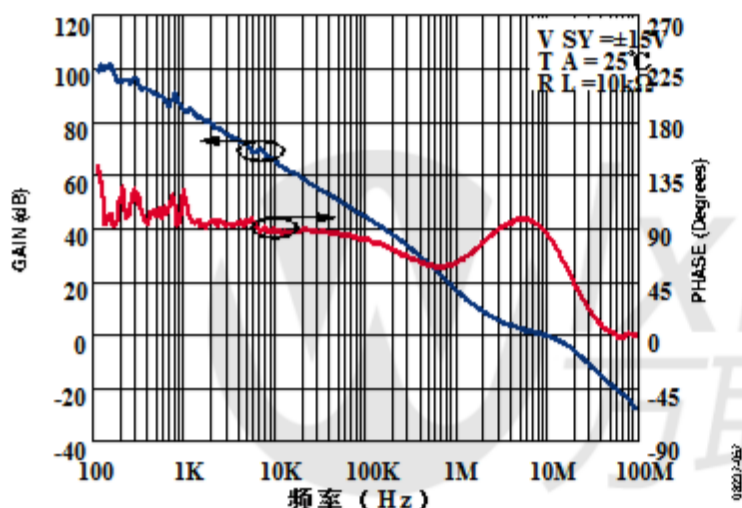
图84. 压差电压 (V_{DO}) 与灌电流图87. 输出阻抗 (Z_{OUT}) 与频率的关系

图85. 开环增益和相位与频率的关系

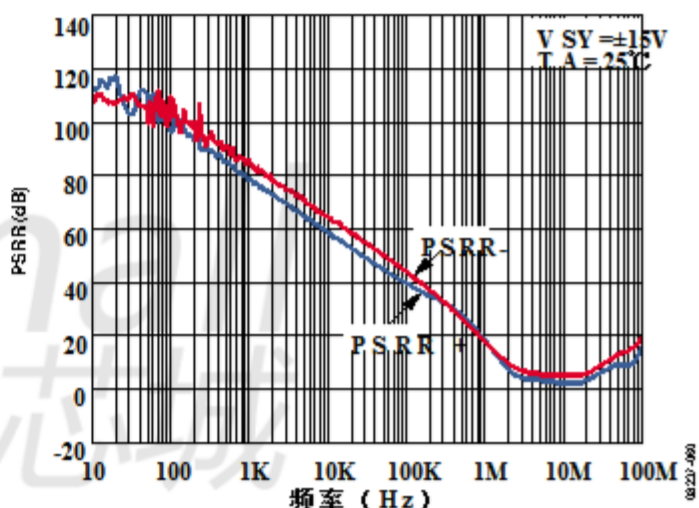


图88. PSRR与频率的关系

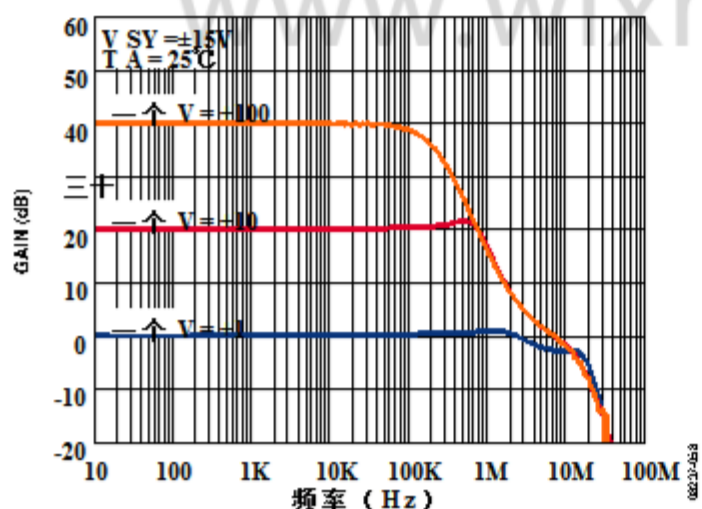


图86. 闭环增益与频率的关系

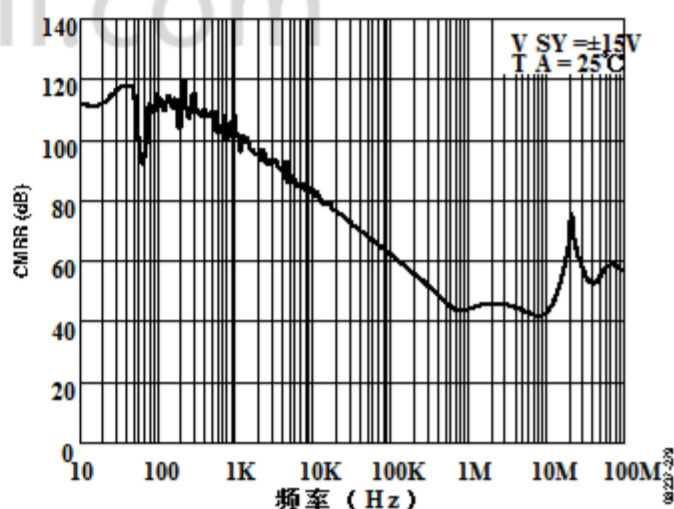


图89. CMRR与频率的关系

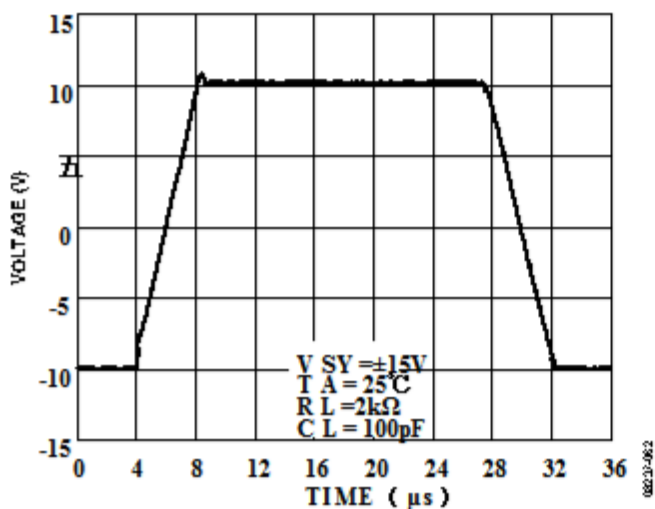


图90.大信号瞬态响应

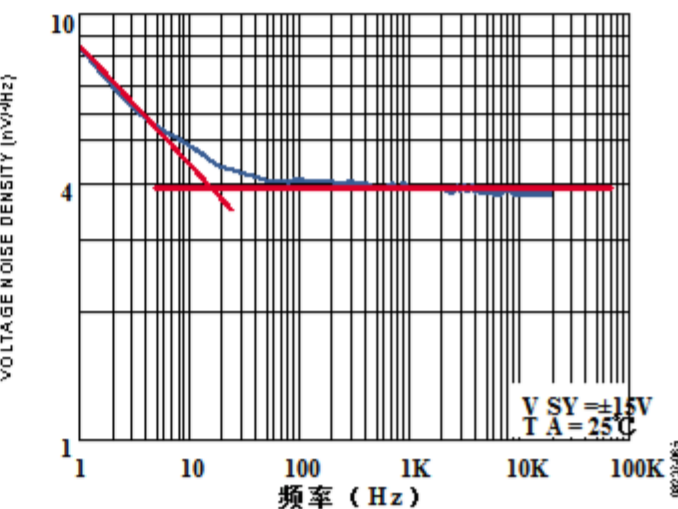


图93.电压噪声密度与频率的关系

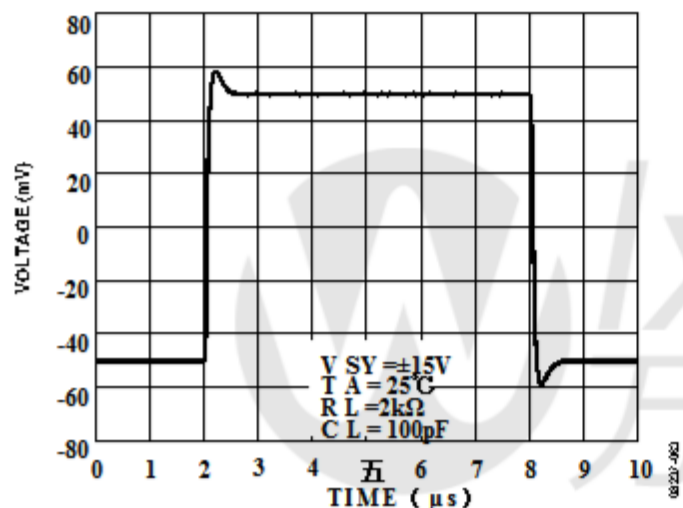


图91.小信号瞬态响应

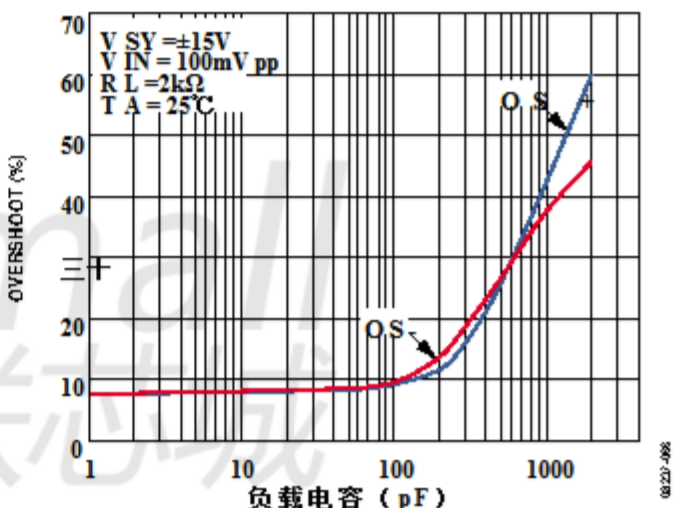


图94.过冲与负载电容

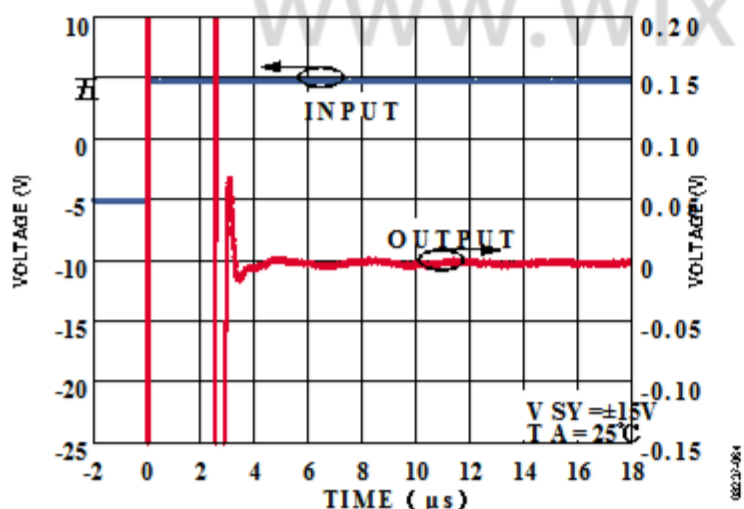


图92.建立时间

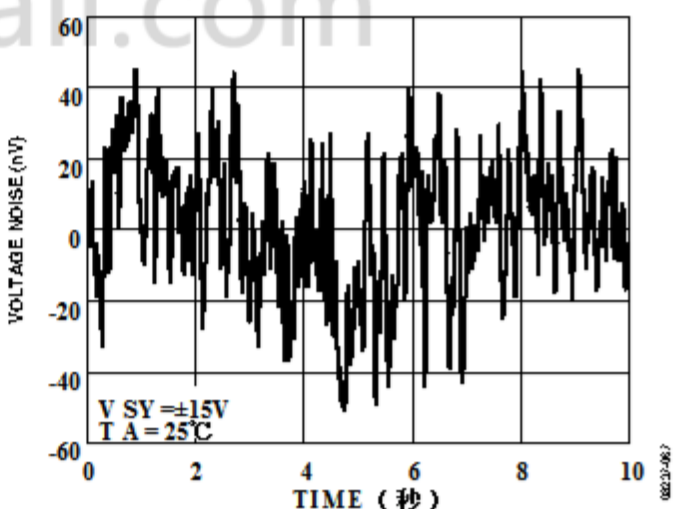
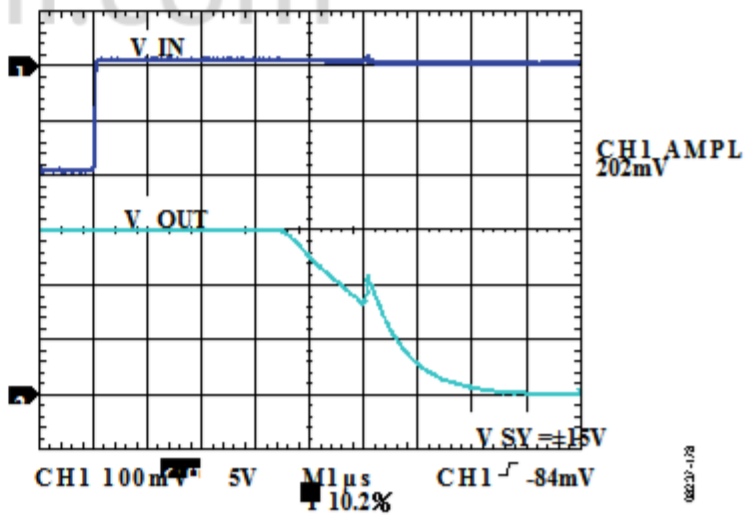
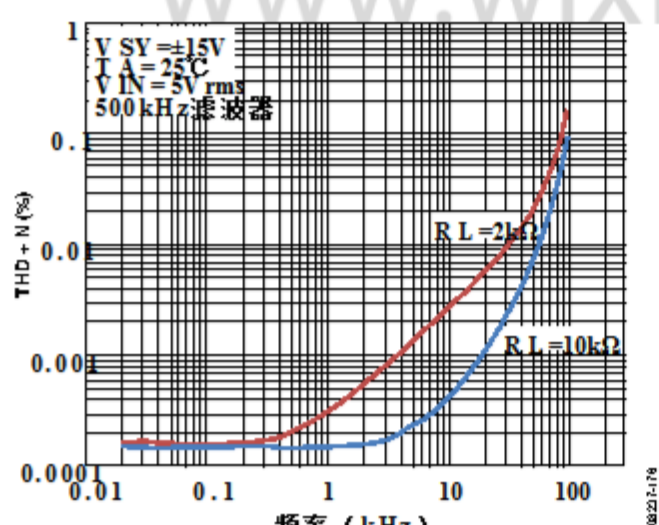
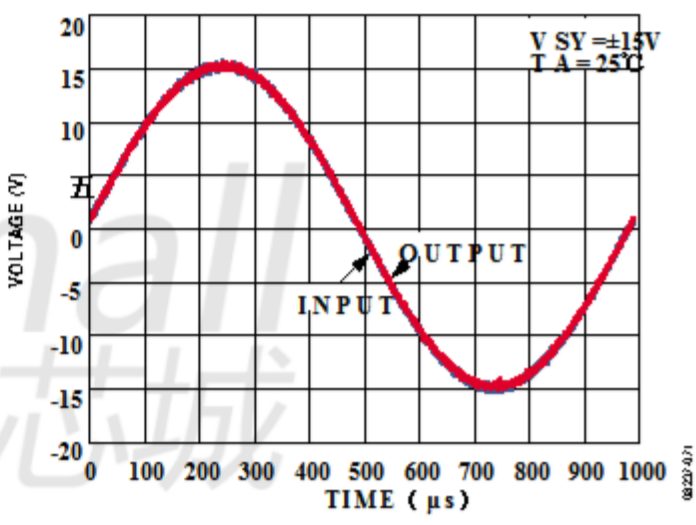
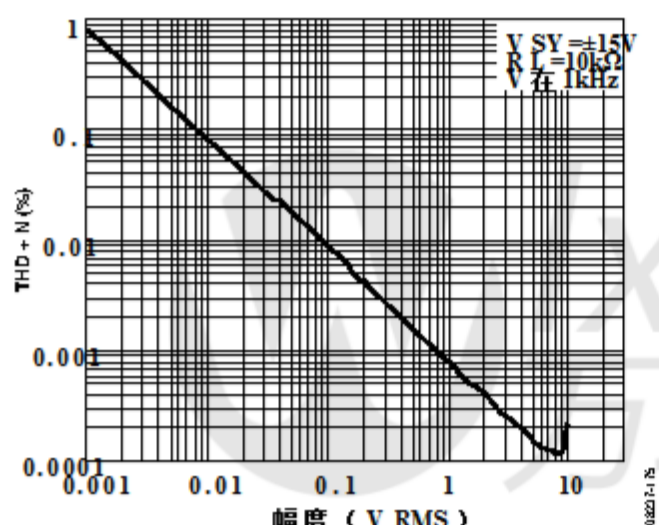
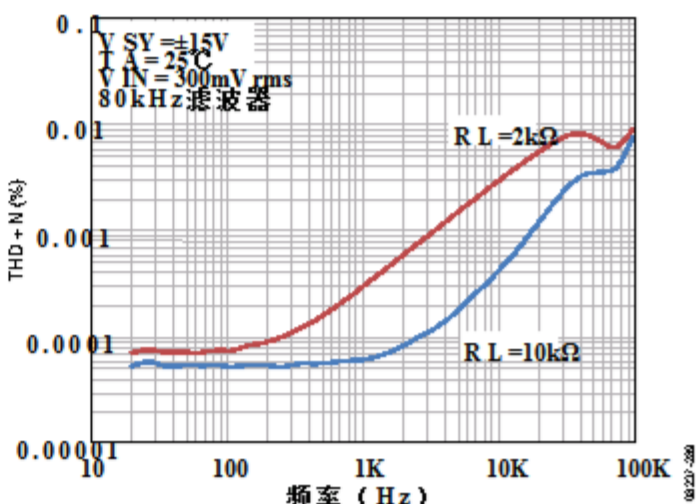
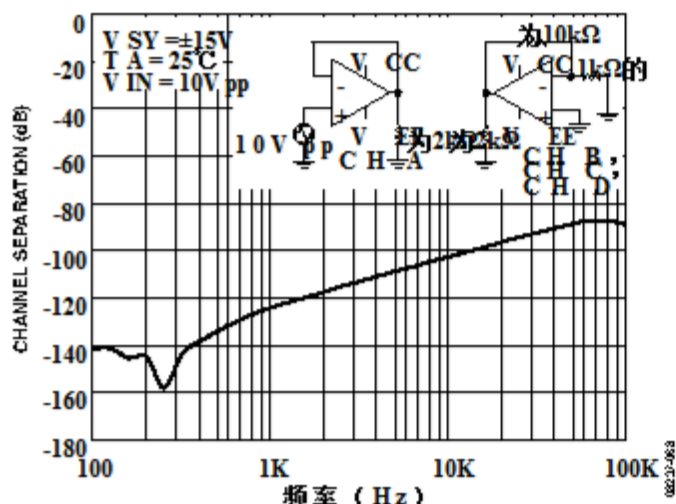
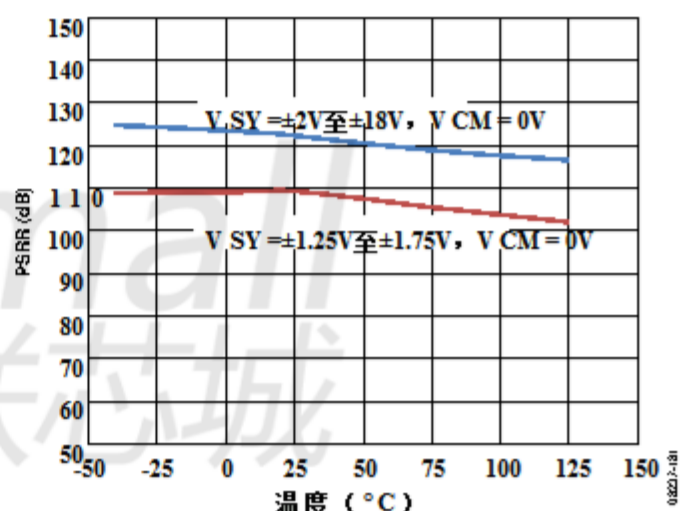
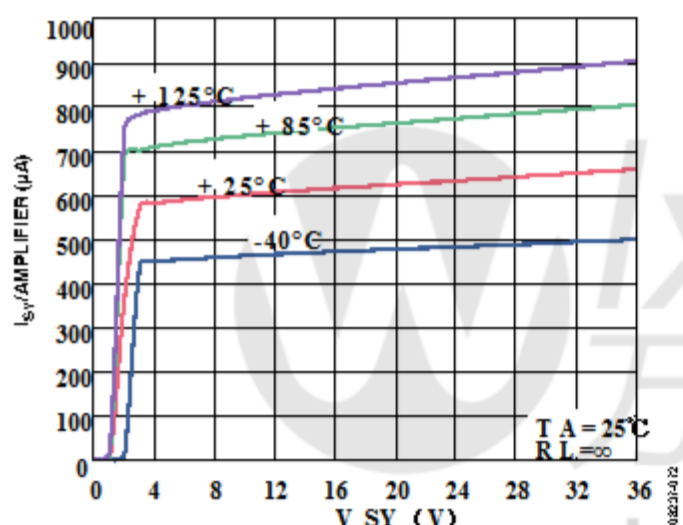
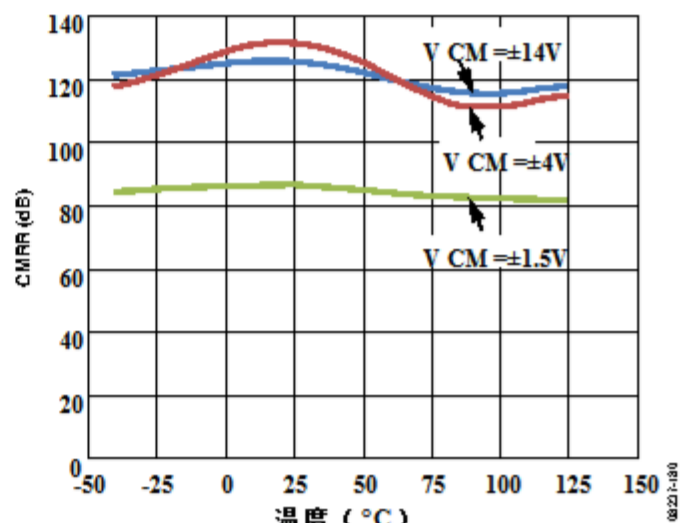
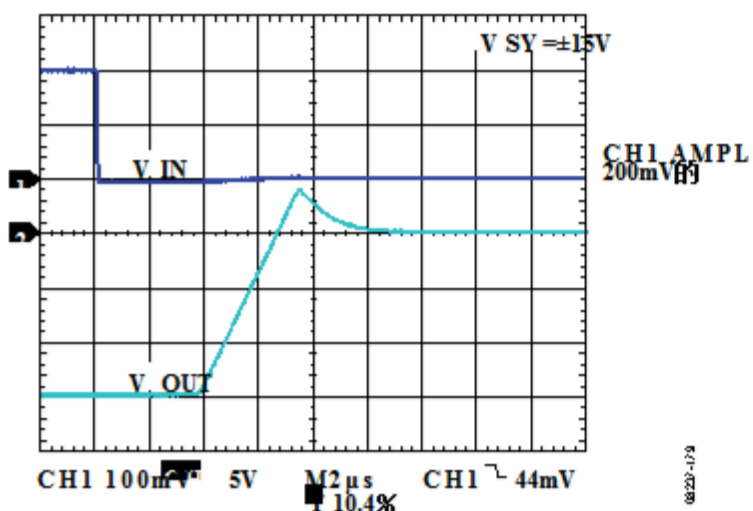


图95.电压噪声0.1 Hz至10 Hz





应用信息

功能说明

ADA4084-1 / ADA4084-2 / ADA4084-4器件具有高精度单电源，轨到轨运算放大器.意为便携式仪器仪表，ADA4084-1 / ADA4084-2 / ADA4084-4器件结合了精度宽的特点带宽和低噪音，使他们成为一个理想的选择需要交流和精密直流的单电源应用性能.其他低电源电压的应用ADA4084-1 / ADA4084-2 / ADA4084-4器件都很好适合包括有源滤波器，音频麦克风前置放大器，电源控制和电信.结合所有这些属性与轨到轨输入/输出操作一样新颖电路设计技术被使用.

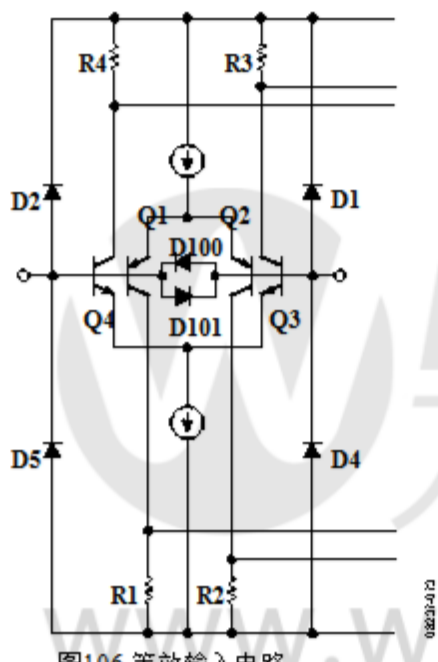


图106.等效输入电路

例如，图106展示了一个简化的等价物电路用于ADA4084-1 / ADA4084-2 / ADA4084-4.它包括一个PNP差分对Q1和Q2，和一个NPN差分对Q3和Q4，二极管D100和二极管D101用于夹紧施加的差分输入电压到ADA4084-1 / ADA4084-2 / ADA4084-4，从而保护输入晶体管免受齐纳发射极 - 基极结的击穿.输入级电压输入轨到轨运行的收益保持在较低水平.两对差分输出电压连接到第二级ADA4084-1 / ADA4084-2 / ADA4084-4，这是一个改进复合折叠级联增益级.这也在第二两对差分输出电压的增益阶段组合成一个单端输出信号用于电压的使用驱动输出级.

输入阶段的一个关键问题是输入偏差的行为输入共模电压范围内的电流.输入偏见ADA4084-1 / ADA4084-2 / ADA4084-4中的电流为Q1和Q4以及Q2和Q4中基极电流的算术和Q3.因此，在这种设计方法中，输入偏置电流 i_{in} ADA4084-1 / ADA4084-2 / ADA4084-4不仅展出不同的幅度，但是它们也表现出不同的极性.这个效果最好由图19，图20，图50，图51，图81和图82.因此很重要那是连接到的有效源阻抗ADA4084-1 / ADA4084-2 / ADA4084-4输入均衡最佳的直流和交流性能.

为了实现轨到轨输出，ADA4084-1 / ADA4084-2 / ADA4084-4输出级设计采用独特的拓扑结构采购和沉没电流.显示此电路拓扑在图107中.输出级由第二个电压驱动获得阶段.通过输出级的信号路径是反相的；也就是说，对于正输入信号，Q13提供基极电流驱动到Q19，以便传导（吸收）电流.对于负的输入信号，信号路径通过Q18→镜像→Q24提供基极电流驱动Q23进行（源）电流.都晶体管提供输出电流，直到它们被迫进入饱和.

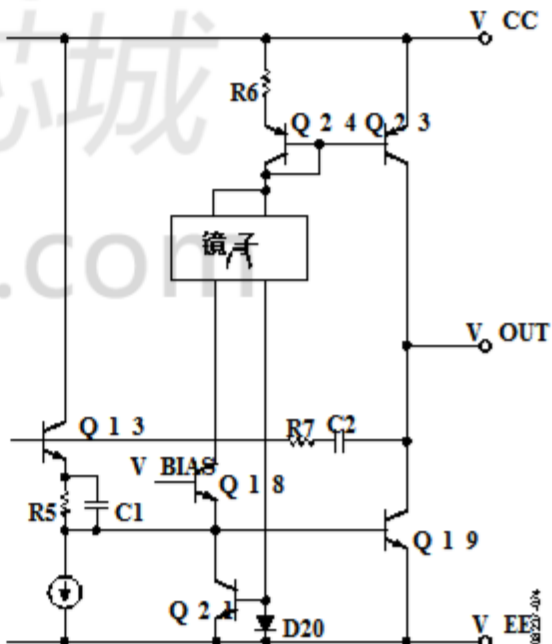


图107.等效输出电路

因此，输出晶体管的饱和电压设置为限制ADA4084-1 / ADA4084-2 / ADA4084-4的最大值输出电压摆幅.输出短路电流限制是由进入基极的最大信号电流决定从第二个增益阶段Q13.输出阶段也展出电压增益.这是通过使用共发射极来实现的放大器，结果是输出级的电压增益（因此，设备的开环增益）表现出依赖性在ADA4084-1 / 2的输出端的总负载电阻上，ADA4084-2 / ADA4084-4.

启动特性

ADA4084-1 / ADA4084-2 / ADA4084-4规定为额定功率下从3 V至30 V (± 1.5 V至 ± 15 V)耗材.在电源电压从电源电压上升的过程中0 V到标称电源电压, 电源电流 (I_{SY})也增加到稳定点和放大器准备好运作. 稳定因温度而异, 如如图103所示. 例如, 在-40°C时, 要求更高电压稳定在一个较低的电源电流比热温度. 在高温下, 它需要较低的电压. 稳定在更高的电流. 在所有情况下, ADA4084-1 / 指定ADA4084-2 / ADA4084-4可在以下位置启动和运行在所有温度条件下至少3V.

输入保护

与任何半导体器件一样, 如果条件存在的话施加到器件的输入电压超过电源电压, 器件的输入过压I至V特性必须为考虑. 当发生过压时, 放大器可能是损坏, 取决于施加电压的大小和故障电流的大小.

D1, D2, D4和D5二极管在输入共模模式电压通过二极管压降超过任一电源引脚. 这个二极管压降随温度变化而在此范围内为0.3 V至0.8 V. 如简化的等效输入所示图106的电路ADA4084-1 / ADA4084-2 / ADA4084-4没有任何内部限流电阻; 因此, 错误电流会迅速上升到有害的水平.

这个输入电流不是固有的损坏设备, 只要限制在5毫安或更少. 如果出现故障状况导致5mA以上的电流流过, 在外加一个串联电阻额外的热噪声的代价. 图108显示了一个典型的同相配置过压保护放大器, 其中选择串联电阻 (R1), 使得

$$R1 = \frac{V_{IN} - V_{OUT}}{5mA}$$

五毫安

例如, 1 kΩ可保护ADA4084-1 / ADA4084-2 / ADA4084-4抵抗高于和低于5 V的输入信号耗材. 请注意, 室内1kΩ电阻的热噪声温度为4 nV / √Hz, 超过了电压噪声ADA4084-1 / ADA4084-2 / ADA4084-4. 对于其他配置在两个输入都使用, 添加一个串联电阻来限制输入电流. 为确保最佳的直流和交流性能, 平衡源阻抗水平.

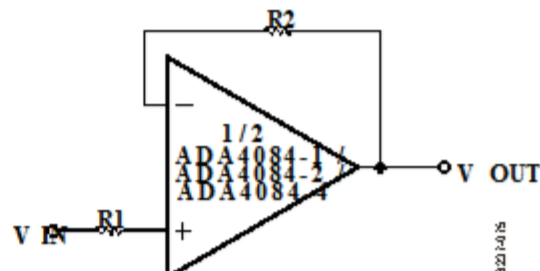


图108. 与输入串联的电阻
限制过压电流达到安全值

为了保护Q1 / Q2和Q3 / Q4对不受大差动的影响可能导致发射极 - 基极齐纳击穿的电压在两个输入之间连接D100和D101. 这排除了作为比较器的操作. 为更完整说明, 请参阅MT-035教程, 运算放大器输入, 输出, 单电源和轨到轨问题; MT-083教程, 比较器; MT-084教程, 使用运算放大器比较器; 和AN-849应用笔记, 使用Op放大器作为比较器.

输出相位反转

一些运算放大器设计用于单电源供电当它们的输入端出现输出电压相位反转超出了其有用的共模范围. 通常, 为单电源双极性运算放大器, 负电源决定它们的共模范围的下限. 有了这些设备, 外部钳位二极管, 阳极接地阴极连接到输入端, 防止输入信号偏移超过设备的负电源 (即GND), 防止导致输出电压改变的条件. 相. JFET输入放大器也可以呈现相位反转, 如果所以通常需要串联一个输入电阻来防止这种情况发生.

ADA4084-1 / ADA4084-2 / ADA4084-4免提供合理的输入电压范围限制施加不超过电源电压的电压图38, 图69和图100).

尽管器件输出不改变相位, 但大电流可以流经输入保护二极管. 因此, 应用技巧在“输入保护”部分中推荐那些输入电压可能性的应用超过电源电压高.

设计单片机的低噪声电路

供应用程序

在单电源应用中，像ADA4084-1 /

ADA4084-2 / ADA4084-4扩展了ADA4084-2的动态范围

通过使用轨到轨运行的应用程序参考

运算放大器的噪声模型电路配置如图所示

图109表示总等效输入噪声

源电阻电平的放大器的电压 R_S 由下式给出

$$\bar{E}_{NT} = \sqrt{\frac{e}{NR}^2 + \frac{e}{nOA}^2} \text{ 单位在 } \frac{V}{\sqrt{\text{赫兹}}}$$

哪里：

$(e/nR)^2$ 是源电阻热噪声电压功率 ($4kTR$) .

k 是玻尔兹曼常数， $1.38 \times 10^{-23} \text{ J/K}$.

T 是电路的环境温度 (开尔文)， $273.15 +$

$T_A (\text{°C})$.

$(e/nOA)^2$ 是运算放大器的等效输入噪声电流频谱功率 (1 Hz带宽) .

$R_S = 2R$, 即有效或等效的电路源电阻.

$(e/nOA)^2$ 是运放的等效输入噪声电压频谱功率 (1 Hz带宽) .

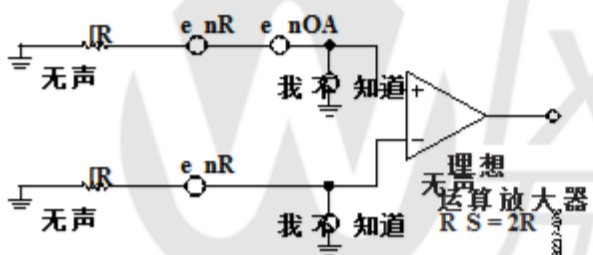


图109. 用于确定总电路的运算放大器噪声电路模型
等效输入噪声电压和噪声系数

作为设计辅助，图110显示了等效的热噪声

的ADA4084-1 / ADA4084-2 / ADA4084-4相对于总源
抵抗性.请注意，对于小于 $1k\Omega$ 的源电阻，

等效输入噪声电压的ADA4084-1 / ADA4084-2 /
ADA4084-4占主导地位.

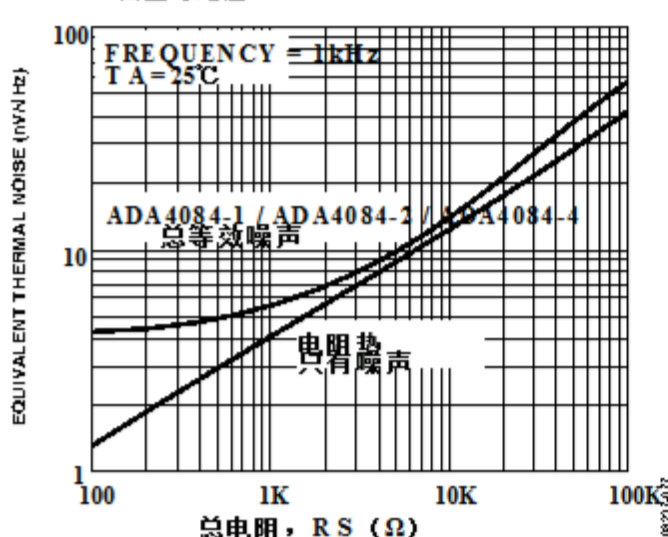


图110. 等效热噪声与总源阻抗

由于电路SNR是最终分析的关键参数，

有时用电路来表示电路的噪声行为

的噪音指数 (NF). 噪声系数定义为比率

的电路的信噪比输出到其信噪比

输入.

噪声系数一般用于射频和微波电路分析

在一个 50Ω 系统.这对于运算放大器电路来说并不是非常有用

输入和输出阻抗可能会有很大的不同.为更多

噪声系数的完整描述，请参阅MT-052教程，作业

放大器噪声系数：不要被误导.

应用程序中的信号级别总是增加到最大
电路信噪比，这在低电压，单电源中不是一个选项
应用.

因此，要实现单电源的最佳电路信噪比

应用中选择最低的运算放大器

等效输入噪声电压，以及源电阻

这与维持低总电路噪声一致.

比较器操作

虽然运算放大器与比较器有很大不同，

偶尔会有一个未使用的双路或四路运算放大器

用作比较器;不过，这不建议

任何轨到轨输出运算放大器.对于轨到轨输出运算放大器，

输出级通常是带有双极性的比例电流镜

或MOSFET晶体管.随着设备开环运行，

第二阶段增加当前驱动到比例镜

关闭循环.但是，循环无法关闭，导致

供应电流的增加.将运算放大器配置为a

比较器，电源电流可以显著提高(见

图111).配置一个未使用的部分作为电压跟随器

同相输入端连接到内部的电压

输入电压范围. ADA4084-1 / ADA4084-2 / ADA4084-4

具有独特的第二阶段和输出级设计，大大

减少运算放大器工作时的过量供电电流

开环.

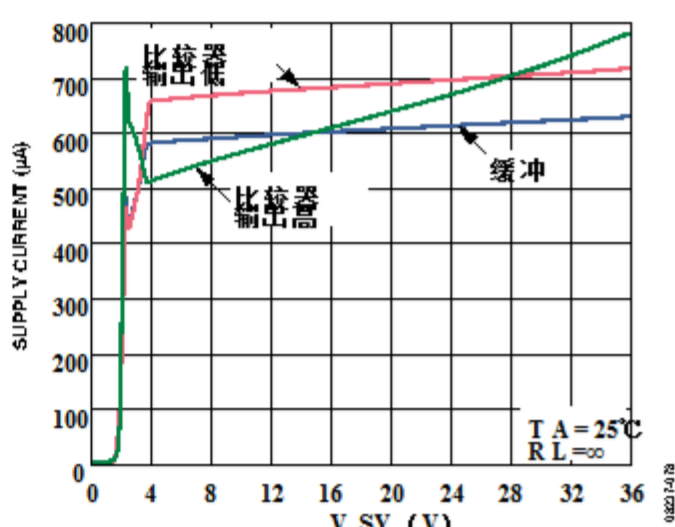


图111. 电源电流与电源电压 (V SY)

外形尺寸

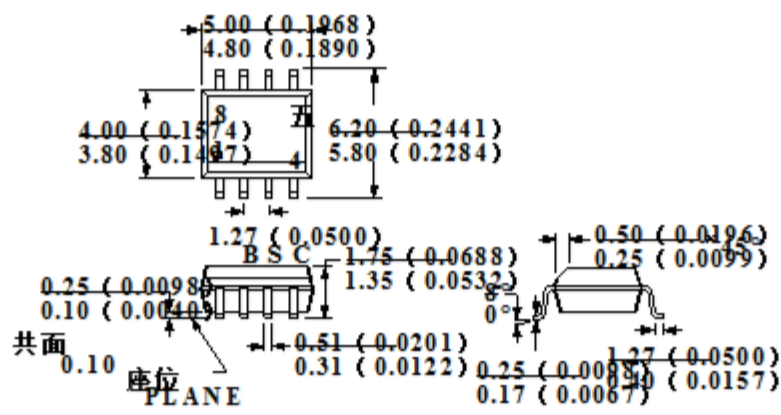
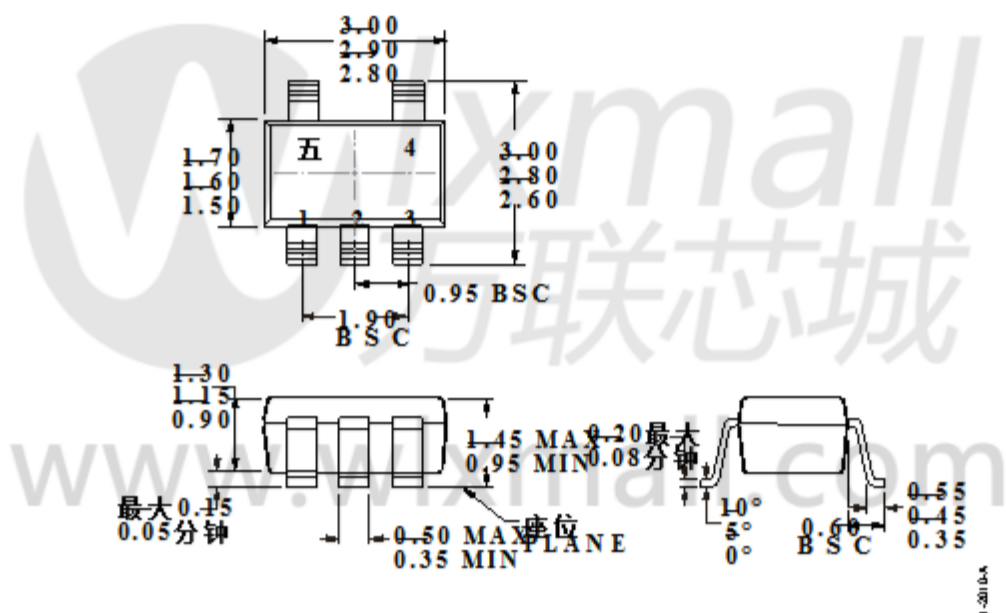
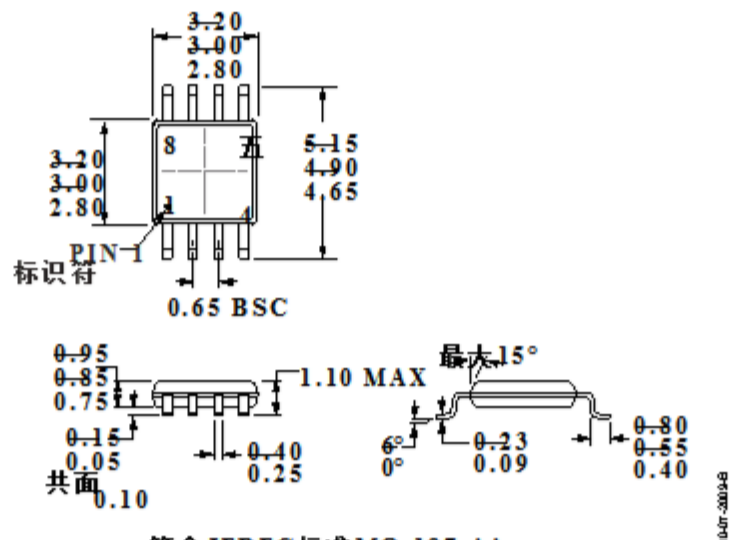


图112. 8引脚标准小型封装[SOIC_N]
狭窄的身体
(R-8)
尺寸以毫米和(英寸)



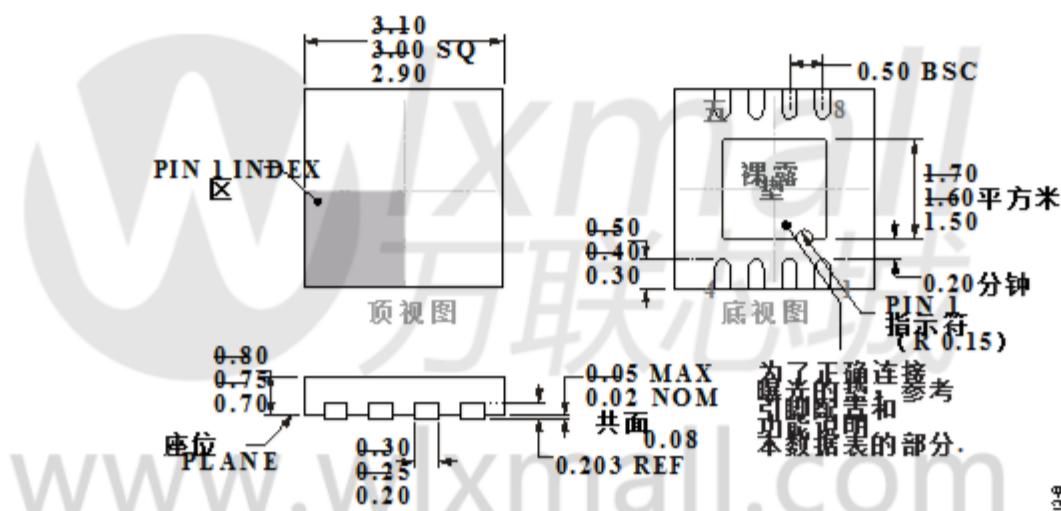


符合JEDEC标准MO-187-AA

图114. 8引脚迷你小型封装[MSOP]

(RM-8)

尺寸以毫米为单位显示



柔顺 致JEDEC标准MO-229-WEED

图115. 8引脚引线框架芯片级封装[LFCSP_WD]

3毫米×3毫米的身体, 非常非常薄, 双引线

(CP-8-12)

尺寸以毫米为单位显示

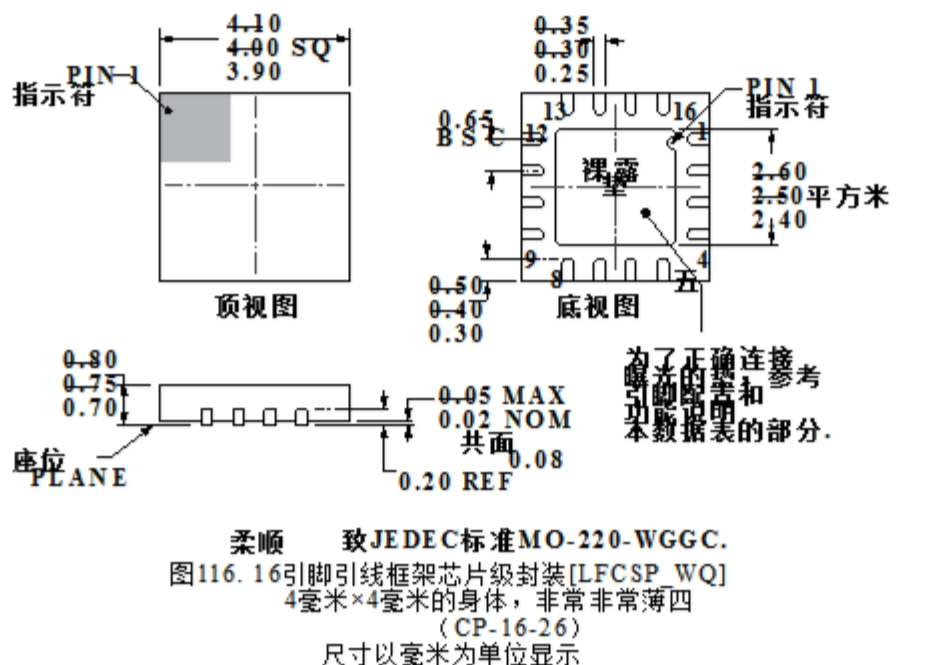


图116. 16引脚引线框架芯片级封装[LFCSP_WQ]

4毫米×4毫米的身体，非常非常薄四

(CP-16-26)

尺寸以毫米为单位显示

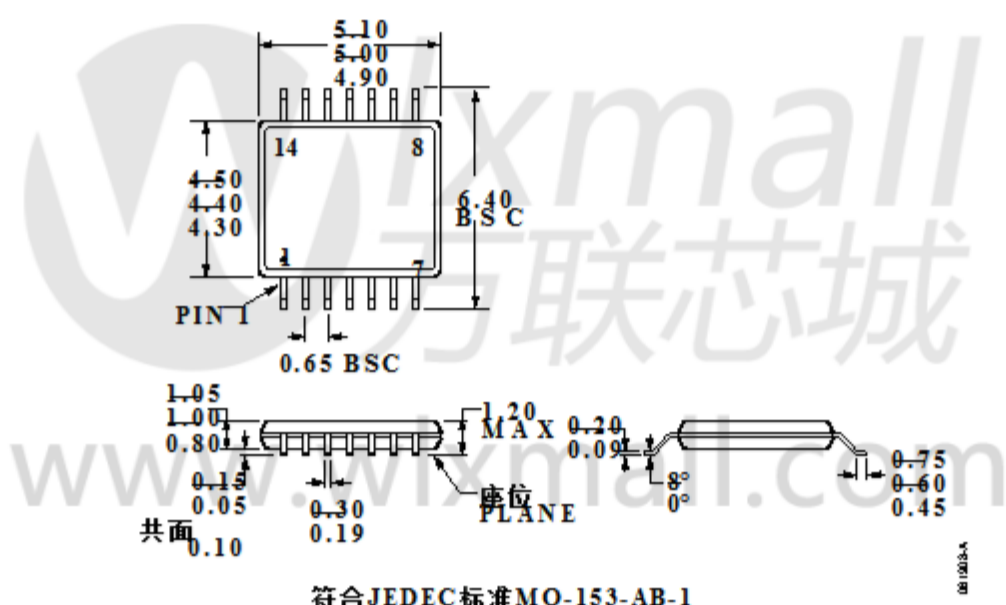


图117. 14引脚超薄紧缩小型封装[TSSOP]

(RU-14)

尺寸以毫米为单位显示

订购指南

模型 1	温度范围	包装说明	包装选项	品牌
ADA4084-1ARZ	-40°C至+ 125°C	8引脚标准小型封装[SOIC_N]	R - 8	
ADA4084-1ARZ-R7	-40°C至+ 125°C	8引脚标准小型封装[SOIC_N]	R - 8	
ADA4084-1ARZ-RL	-40°C至+ 125°C	8引脚标准小型封装[SOIC_N]	R - 8	
ADA4084-1ARJZ-R2	-40°C至+ 125°C	5引脚小型晶体管封装[SOT-23]	RJ-5	A 3 8
ADA4084-1ARJZ-R7	-40°C至+ 125°C	5引脚小型晶体管封装[SOT-23]	RJ-5	A 3 8
ADA4084-1ARJZ-RL	-40°C至+ 125°C	5引脚小型晶体管封装[SOT-23]	RJ-5	A 3 8
ADA4084-2ARMZ	-40°C至+ 125°C	8引脚迷你小型封装[MSOP]	RM - 8	A 2 Q
ADA4084-2ARMZ-R7	-40°C至+ 125°C	8引脚迷你小型封装[MSOP]	RM - 8	A 2 Q
ADA4084-2ARMZ-RL	-40°C至+ 125°C	8引脚迷你小型封装[MSOP]	RM - 8	A 2 Q
ADA4084-2ARZ	-40°C至+ 125°C	8引脚标准小型封装[SOIC_N]	R - 8	
ADA4084-2ARZ-R7	-40°C至+ 125°C	8引脚标准小型封装[SOIC_N]	R - 8	
ADA4084-2ARZ-RL	-40°C至+ 125°C	8引脚标准小型封装[SOIC_N]	R - 8	
ADA4084-2ACPZ-R7	-40°C至+ 125°C	8引脚引线框架芯片级封装[LFCSP_WD]	CP-8-12	A 2 Q
ADA4084-2ACPZ-RL	-40°C至+ 125°C	8引脚引线框架芯片级封装[LFCSP_WD]	CP-8-12	A 2 Q
ADA4084-4ACPZ-R7	-40°C至+ 125°C	16引脚引线框架芯片级封装[LFCSP_WQ]	CP-16-26	
ADA4084-4ACPZ-RL	-40°C至+ 125°C	16引脚引线框架芯片级封装[LFCSP_WQ]	CP-16-26	
ADA4084-4ARUZ	-40°C至+ 125°C	14引脚薄型小外形封装[TSSOP]	RU-14	
ADA4084-4ARUZ-R1	-40°C至+ 125°C	14引脚薄型小外形封装[TSSOP]	RU-14	

1Z =符合RoHS标准的部分。

